

UNIVERSIDADE ESTADUAL DE CAMPINAS FACULDADE DE CIÊNCIAS MÉDICAS

PAULO OSNI LEÃO PERIN

ULTRASSONOGRAFIA PULMONAR DESCRITIVA NO PACIENTE EM LISTA PARA TRANSPLANTE HEPÁTICO

DESCREPTIVE LUNG ULTRASONOGRAPHY IN PATIENTS
LISTED FOR LIVER TRANSPLANTATION

CAMPINAS 2017

PAULO OSNI LEÃO PERIN

ULTRASSONOGRAFIA PULMONAR DESCRITIVA NO PACIENTE EM LISTA PARA TRANSPLANTE HEPÁTICO

DESCREPTIVE LUNG ULTRASONOGRAPHY IN PATIENTS LISTED FOR LIVER TRANSPLANTATION

Dissertação apresentada à Faculdade de Ciências Médicas da Universidade Estadual de Campinas como parte dos requisitos exigidos para a obtenção do título de Mestre em Ciências.

ORIENTADOR: LUIZ CLÁUDIO MARTINS

ESTE EXEMPLAR CORRESPONDE À VERSÃO FINAL DA DISSERTAÇÃO DEFENDIDA PELO ALUNO PAULO LEÃO OSNI PERIN, E ORIENTADO PELO PROF. DR. LUIZ CLÁUDIO MARTINS

CAMPINAS

2017

Agência(s) de fomento e nº(s) de processo(s): Não se aplica.

Ficha catalográfica Universidade Estadual de Campinas Biblioteca da Faculdade de Ciências Médicas Maristella Soares dos Santos - CRB 8/8402

Perin, Paulo Osni Leão, 1981-

P418u

Ultrassonografia pulmonar descritiva no paciente em lista para transplante hepático / Paulo Osni Leão Perin. – Campinas, SP : [s.n.], 2017.

Orientador: Luiz Cláudio Martins.

Coorientador: Ilka de Fatima Santana Ferreira Boin.

Dissertação (mestrado) – Universidade Estadual de Campinas, Faculdade de Ciências Médicas.

 Transplante de figado. 2. Espirometria. 3. Ultrassonografia. I. Martins, Luiz Claudio, 1964-. II. Boin, Ilka de Fatima Santana Ferreira, 1953-. III. Universidade Estadual de Campinas. Faculdade de Ciências Médicas. IV. Título.

Informações para Biblioteca Digital

Titulo em outro idioma: Descreptive lung ultrasonography in patients listed for liver

transplantation

Palavras-chave em inglês:

Liver transplantation

Spirometry

Ultrasonography

Área de concentração: Fisiopatologia Cirúrgica

Titulação: Mestre em Ciências

Banca examinadora:

Luiz Cláudio Martins (Orientador)

Desanka Dragosavac

José Guilherme Lopes Rodrigues Tralhão

Data de defesa: 27-04-2017

Programa de Pós-Graduação: Ciências da Cirurgia

BANCA EXAMINADORA DA DEFESA DE MESTRADO

PAULO OSNI LEÃO PERIN

ORIENTADOR: LUIZ CLÁUDIO MARTINS	

MEMBROS:

- 1. PROF. DR. LUIZ CLÁUDIO MARTINS
- 2. PROFA. DRA. DESANKA DRAGOSAVAC
- 3. PROF. DR. JOSÉ GUILHERME LOPES RODRIGUES TRALHÃO

Programa de Pós-Graduação em Ciências da Cirurgia da Faculdade de Ciências Médicas da Universidade Estadual de Campinas.

A ata de defesa com as respectivas assinaturas dos membros da banca examinadora encontra-se no processo de vida acadêmica do aluno.

Data: 27/04/2017

DEDICATÓRIA

Aos meus pais: Elizabeti e Arlindo *(in memorian)* que sempre me apoiaram e acreditaram em mim, à minha esposa Flora pelo suporte e paciência, aos professores que influenciaram quem eu sou hoje e despertaram em mim o desejo de aprender e ensinar.

AGRADECIMENTOS

Aos meus orientadores Prof. Dr. Luiz Cláudio Martins e Profa. Dra. Ilka de Fatima Santana Ferreira Boin pela paciência e oportunidade.

À Profa. Dra. Aurea Maria Oliveira da Silva pela amizade, por me ensinar diariamente e pelo apoio imensurável.

À Profa. Dra. Desanka Dragosavac e ao Prof. Dr. Antonio Luis Eiras Falcão que deram início ao processo deste trabalho.

Aos funcionários e residentes do Gastrocento e UTI – UNICAMP pela ajuda e dedicação.

Ao Dr. Maurício de Almeida Ferreira, pela ajuda e paciência.

Aos pacientes que tornaram possível esta pesquisa, sempre dispostos e com interesse em colaborar.

Aos profissionais da saúde, sempre dedicados a cuidar do próximo.



RESUMO

O uso da ultrassonografia portátil em unidades de emergência e terapia intensiva, aliado ao conceito de ultrassonografia de todo o corpo, possibilitou o desenvolvimento da técnica de ultrassonografia pulmonar, abrindo campo para estudos nas áreas de trauma, medicina de emergência e clínica médica. Um campo de destaque é a avaliação do líquido pulmonar extra vascular, traduzido clinicamente pelas síndromes intersticiais, principalmente o edema pulmonar. Sabemos que a perda do balanço entre a pressão hidrostática e a pressão oncótica leva a formação de edema e derrame em cavidades, problema comum nos pacientes cirróticos.

A proposta da dissertação foi utilizar a ultrassonografia pulmonar, um método já consagrado na avaliação de liquido pulmonar extra vascular, como ferramenta na avaliação dos pacientes cirróticos em lista para transplante hepático, afim de descrever as alterações mais comuns nesta população de pacientes e relacioná-las com provas de função pulmonar. A presença de linhas B foi observada em 24 (49%) pacientes e ascite em 11 (22,4%). A média da CVF nos pacientes com linhas B foi de 76,1% \pm 9,2; p = 0,0058 e para os pacientes com ascite foi de 66,8% \pm 10,2; p = 0,0010. Para a média do VEF1 os valores encontrados foram 78,5% \pm 10,3; p = 0,0001 e 71,3% \pm 13,2; p = 0,0004.

Em nosso estudo, a presença de linhas B estava relacionada à uma redução da CVF e VEF1 quando comparada aos pacientes cirróticos que não possuíam ascite ou linhas B na ultrassonografia pulmonar.

Palavras chave: cirrose hepática, transplante de fígado, edema pulmonar, espirometria, ultrassonografia.

ABSTRACT

The use of portable ultrasonography in emergency and intensive care units, combined with the concept of ultrasound of the whole body, allowed the development of the pulmonary ultrasonography technique, opening the field for studies in the areas of trauma, emergency medicine and medical clinic. A field of emphasis is the evaluation of the extra-vascular pulmonary fluid, translated clinically by the interstitial syndromes, mainly pulmonary edema. We know that the imbalance between hydrostatic pressure and oncotic pressure leads to the formation of edema and cavitary effusion, a common problem in cirrhotic patients.

The purpose of this project is to use pulmonary ultrasonography, a method already established in the evaluation of extravascular pulmonary fluid, as a tool in the evaluation of cirrhotic patients on liver transplantation list, in order to describe the most common alterations in this patient population and correlate with pulmonary function test. The presence of B lines was observed in 24 (49%) patients and ascites in 11 (22.4%). The mean FVC in patients with B lines was $76.1\% \pm 9.2$; P = 0.0058 and for patients with ascites was $66.8\% \pm 10.2$; P = 0.0010. For the mean FEV 1 the values found were $78.5\% \pm 10.3$; P = 0.0001 and $71.3\% \pm 13.2$; P = 0.0004.

In our study, the presence of B lines was related to a reduction in FVC and FEV1 when compared to cirrhotic patients who did not have ascites or B lines on pulmonary ultrasonography.

Key words: liver cirrhosis, **l**iver transplantation, pulmonary edema, spirometry, ultrasonography.

LISTA DE ABREVIATURAS

AD e AE: regiões torácicas anteriores direita e esquerda

bpm: batimentos por minuto

CVF: capacidade vital forçada

cm: centímetros

cmH2O: centímetros de água

FE: fração de ejeção

Inf.: região inferior do tórax

Kg: quilogramas

Kg/m²: quilogramas por metro quadrado

MD e ME: regiões torácicas médias direita e esquerda

MELD: model of end stage liver disease

PD e PE: regiões torácicas posteriores direita e esquerda

PEM: pressão expiratória máxima

PIM: pressão inspiratória máxima

Sup.: região superior US: ultrassonografia

VEF1: volume expiratório forçado no primeiro segundo

VEF1/CVF: razão entre VEF1 e CVF

%: unidade por cento

LISTA DE TABELAS E QUADROS

	TABELA1: Média e desvio padrão das variáveis estudadas30
e linhas B	QUADRO 1: Distribuição dos grupos baseada na presença de ascite
grupo e co	TABELA 2: Valores médios para CVF, VEF1 e VEF1/CVF para cada omparação com os valores preditos3
	TARELA 3: Comparação dos achados com os valores de MELD 34

LISTA DE FIGURAS

FIGURA 1: Imagem normal de ultrassonografia pulmonar1	8
FIGURA 2: Imagem evidenciando linhas B1	9
FIGURA 3: Imagem de consolidação pulmonar2	20
FIGURA 4: Imagem do pulso pulmonar2	!1
FIGURA 5: Imagem de pneumotórax2	22
FIGURA 6: Imagem de derrame pleural2	23
FIGURA 7: Boxplot da comparação de CVF entre os grupos3	32
FIGURA 8: Boxplot da comparação de VEF1 entre os grupos3	33

SUMÁRIO

	1.	INTRODUÇÃO	. 14
	2.	OBJETIVOS	. 16
2.1.	ОВ	JETIVO GERAL	. 16
2.2.	ОВ	JETIVOS ESPECÍFICOS	. 16
	3.	REVISÃO DE LITERATURA	. 17
3.1.	PR	NCÍPIOS DA ULTRASSONOGRAFIA PULMONAR	. 17
3.2.	РА	DRÕES ANORMAIS DE ULTRASSONOGRAFIA PULMONAR	. 18
3.	2.1.	SÍNDROMES INTERSTICIAIS	. 18
3.	2.2.	SÍNDROMES ALVEOLARES	. 19
3.	2.3.	PNEUMOTÓRAX	. 21
3.	2.4.	DERRAME PLEURAL	. 22
3.3.	CO	MPROMETIMENTO PULMONAR NA DOENÇA HEPÁTICA	. 23
3.	3.1.	ASPECTOS GERAIS	. 23
3.	3.2.	COMPROMETIMENTO PULMONAR NA DOENÇA HEPÁTICA AVANÇADA .	. 24
	4.	MATERIAL E MÉTODOS	. 26
4.1.	DE	SENHO DO ESTUDO	. 26
4.2.	SEI	EÇÃO DOS INDIVÍDUOS	. 26
4.3.	CR	TÉRIOS DE INCLUSÃO	. 26
4.4.	4.4	. CRITÉRIOS DE EXCLUSÃO	. 26
4.5.	PR	OCEDIMENTOS PARA A AVALIAÇÃO	. 26
4.6.	INS	TRUMENTOS DE MEDIDA	. 27
	5.	RESULTADOS	. 30
	6.	DISCUSSÃO	. 35
	7.	CONCLUSÃO	. 39
	8.	REFERÊNCIAS:	. 40
	9.	ANEXOS	. 45

1. INTRODUÇÃO

A evolução da tecnologia possibilitou o uso rotineiro da ultrassonografia portátil nas salas de emergência e unidades de terapia intensiva em todo o mundo, ocasionando o desenvolvimento de uma ferramenta de grande valor para lidar com questões da prática diária de emergencistas e intensivistas, que antes demandavam maiores custos, tempo e risco aos pacientes. Dentre estas questões, podemos citar o diagnóstico de dispneia aguda na sala de emergência (1, 2), avaliação do estado volêmico e água pulmonar extra vascular (3), avaliação rápida de pacientes traumatizados e guia para procedimentos como pericardiocentese, toracocentese, paracentese e punção de acessos venosos profundos (4, 5, 6, 7).

Comparando ultrassonografia pulmonar e seu impacto na tomada de decisão em pacientes críticos, um estudo foi publicado em 2014, com 189 pacientes em ventilação mecânica em uma UTI clínico — cirúrgica que apresentaram suspeita de uma doença pulmonar aguda e piora inexplicada dos gases arteriais (8). Os pacientes foram avaliados pelo respectivo médico assistente e por um operador de ultrassom, tendo, em seguida, que responder ao seguinte questionário: 1. O paciente apresenta achados de ultrassom indicativos de pneumotórax? 2. Existe derrame pleural significante? 3. O paciente apresenta achados compatíveis com consolidação/atelectasia pulmonar unilateral significativos? 4. O paciente apresenta achados compatíveis com pneumonia? 5. O paciente apresenta achados compatíveis com edema pulmonar de origem cardiogênica ou não cardiogênica?

O uso da ultrassonografia pulmonar influenciou e modificou as condutas em 47% e revelou diagnósticos em 21% dos casos que não foram aventados pelo exame clínico no estudo.

A radiografia de tórax é um método de baixa acurácia (9), principalmente na detecção de edema intersticial e exames como a Tomografia Computadorizada de Tórax demandam mais custos, exposição à radiação, atrasos, riscos de transporte, presença de artefatos nas imagens e o uso de contrastes, tornando a ultrassonografia pulmonar um método diagnóstico e terapêutico promissor não invasivo, que pode ser repetido quando necessário.

A detecção de edema pulmonar em pacientes dispneicos pela ultrassonografia vem sendo bem explorada em unidades de emergência, porém, seu uso vem sendo ampliado para pacientes ambulatoriais, como no diagnóstico e acompanhamento do acometimento pulmonar em indivíduos com esclerodermia (10).

Cirrose avançada e hipertensão portal estão associadas à insuficiência respiratória e hipoxemia. Um estudo de 1998, ao avaliar pacientes com doença hepática terminal candidatos à transplante, verificou que 70% se queixavam de dispneia (11).

As causas de dispneia em um paciente com hepatopatia podem ser secundárias, como na doença pulmonar obstrutiva crônica, insuficiência cardíaca congestiva, secundária à ascite ou por causas específicas de comprometimento pulmonar na doença hepática avançada, como hidrotórax hepático, hipertensão porto-pulmonar e Síndrome Hepatopulmonar (12).

Embora os achados pulmonares e hemodinâmicos pré-transplante hepático já estejam definidos na literatura, não há relatos do uso especifico da ultrassonografia pulmonar nesse grupo de pacientes, o que abre campo para futuras investigações, visando conhecer as principais alterações ultrassonográficas pulmonares do paciente com cirrose previamente ao transplante.

2. OBJETIVOS

2.1. OBJETIVO GERAL

 Descrever as alterações na ultrassonografia pulmonar dos pacientes cirróticos com indicação de transplante hepático

2.2. OBJETIVOS ESPECÍFICOS

- Comparar os achados na Ultrassonografia Pulmonar com os dados de Espirometria
- Comparar os achados na Ultrassonografia Pulmonar com o valor de MELD (Model of end- stage liver disease)

3. REVISÃO DE LITERATURA

3.1. PRINCÍPIOS DA ULTRASSONOGRAFIA PULMONAR

No final da década de oitenta e início dos anos noventa, baseado no conceito de 'ultrassom do corpo inteiro' (do inglês: whole body ultrasonography), foi proposto o uso de transdutores de ultrassom sobre o tórax, com o intuito de avaliar o acometimento pulmonar das doenças e sua relação com os artefatos pulmonares reproduzidos nas telas dos aparelhos de ultrassonografia (13). Até então, existia o conceito de que a ultrassonografia não era um exame fidedigno para visualizar os pulmões, devido seu conteúdo aéreo, que faria as ondas sonoras propagarem sem retornar ao transdutor, sendo assim não formando imagens. Isso realmente é visto na ultrassonografia pulmonar, pois o conteúdo aéreo nos alvéolos possui grande diferença na impedância acústica, em relação aos tecidos corporais, dissipando as ondas sonoras. Assim, não retornam aos transdutores e não formam imagens. O oposto ocorre quando a ultrassonografia é utilizada para visualizar órgãos sólidos, como o fígado, onde as ondas são refletidas pelo tecido e retornam ao transdutor, formando uma imagem (14).

Fluidos, tecido e ar coexistem nos pulmões e, embora em situações normais não seja possível visualizar o parênquima pulmonar, podemos visualizar padrões de artefatos de imagens que sugerem determinadas condições pulmonares. Assim, ao locarmos um transdutor na parede torácica no sentido longitudinal entre dois arcos costais, obtemos uma imagem que corresponde ao tecido subcutâneo, musculatura intercostal e sombras acústicas originadas das costelas que seguem até o limite inferior da tela do aparelho de ultrassom. Abaixo do tecido subcutâneo e músculos intercostais, observamos entre as duas costelas a linha pleural: uma imagem horizontal que corresponde à interface entre os tecidos moles da parede torácica e o tecido pulmonar, contendo a pleura parietal e visceral, deslizando horizontalmente uma sobre a outra. Esse movimento é chamado de deslizamento pulmonar (do inglês: *lung sliding*).

No pulmão, normalmente os alvéolos repletos de ar dissipam as ondas sonoras e a imagem formada pela parede torácica e linha pleural se repete, como um eco de reverberação, formando linhas repetidas, chamadas linhas A (15), (Fig. 1).



Fig. 1: Imagem normal de ultrassonografia pulmonar. Setas grandes (costelas gerando sombra acústica) e setas menores (três de cada lado) mostrando as linhas A. Podemos observar também os dois arcos costais unidos pela linha pleural. Foto: acervo do autor.

Os padrões anormais de imagem são provenientes de conteúdo interstício-alveolar (pneumonia, liquido inflamatório ou extravasamento capilar por congestão) ou por conteúdo entre a pleura parietal e visceral (ar no pneumotórax e líquido nos derrames pleurais) (15).

3.2. PADRÕES ANORMAIS DE ULTRASSONOGRAFIA PULMONAR

3.2.1. SÍNDROMES INTERSTICIAIS

Nas síndromes intersticiais, existe acúmulo de liquido nos septos interlobulares, traduzido como edema pulmonar (cardiogênico ou inflamatório), que serve como refletor das ondas sonoras, formando linhas verticais, chamadas de linhas B. As linhas B, por definição, possuem as seguintes características: 1. Surgem da linha pleural; 2. São hiperecóicas; 3. Apagam as linhas A; 4. Movimentam-se com a linha pleural (deslizamento pulmonar); 5. Não apagam

até o final da tela do aparelho de ultrassom. A presença de 3 ou mais linhas B entre duas costelas sugerem síndrome intersticial (15, 16, 17 e 18).



Fig. 2: Imagem evidenciando as linhas B. Total de quatro linhas verticais, hiperecóicas, partindo da linha pleural, apagando as linhas A (Fig. 1) e prosseguindo até o final da tela do aparelho. Foto: acervo do autor.

3.2.2. SÍNDROMES ALVEOLARES

CONSOLIDAÇÕES PULMONARES

Nas consolidações pulmonares, onde há conteúdo interalveolar, ocorre melhor refração das ondas sonoras e consequente melhor formação de imagem, dando aspecto de órgão solido no local da consolidação (15, 16).



Fig. 3: Imagem de consolidação pulmonar. Observamos da esquerda para a direita o pulmão consolidado, com aspecto de órgão sólido, uma fina linha hiperecogênica (músculo diafragma) e o baço, com aspecto muito semelhante ao pulmão consolidado. Podemos observar também pontos ou regiões hiperecóicas (pontos brancos) no parênquima pulmonar consolidado. Essas imagens são correspondentes aos broncogramas aéreos. Foto: acervo do autor.

ATELECTASIAS

Podemos diferenciar áreas de atelectasias das áreas de consolidação pela ausência de deslizamento pulmonar (áreas sem expansão pulmonar) e presença de pulso pulmonar (do inglês: *lung pulse*), que consiste na transmissão dos batimentos cardíacos, pela proximidade do órgão e ausência de expansibilidade pulmonar (15, 16).

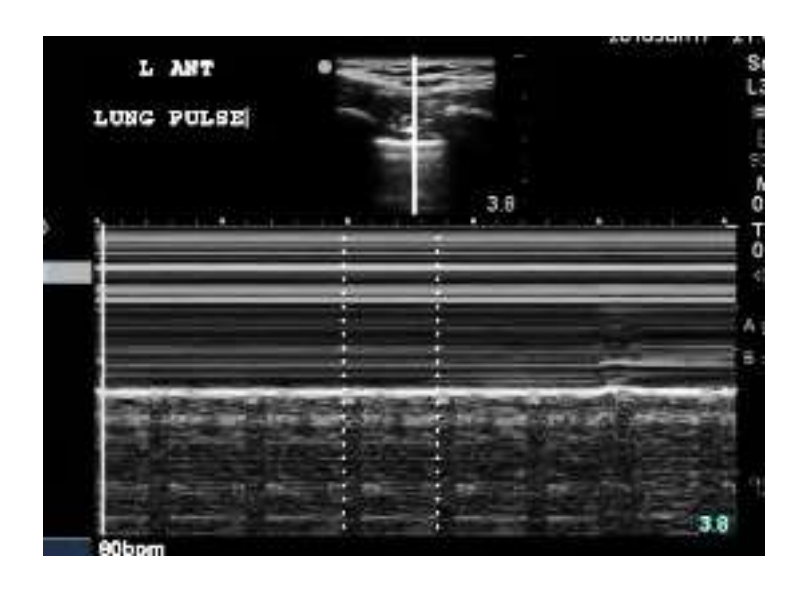


Fig. 4: Imagem do pulso pulmonar. Como nas áreas de atelectasia existe colabamento alveolar, não notamos movimentação (ausência de insuflação) naquela área, porém os batimentos cardíacos são transmitidos por contiguidade, causando um "tremor" rítmico, na mesma frequência do pulso do paciente, que pode ser visualizado mais facilmente ativando o modo M do aparelho. Adaptado de Liechtenstein D. A. Whole body ultrasonography in the critical ill, Springer 2010.

3.2.3. PNEUMOTÓRAX

A ultrassonografia pulmonar também é útil no diagnóstico de pneumotórax, apresentando 95% de sensibilidade e valor preditivo negativo de 100%, caso o paciente os 3 seguintes sinais: 1. Ausência de deslizamento pulmonar (melhor detectado com auxílio do Modo M); 2. Ausência de linhas B (sua presença exclui pneumotórax); 3. Presença do "ponto pulmonar", sinal patognomônico de pneumotórax, onde é visualizada a área de transição entre área sadia, com deslizamento pulmonar (isto é, as pleuras parietal e visceral estão em contato, não há ar entre ambas) e a área com pneumotórax (isto é: abaixo da pleura parietal existe ar – pneumotórax- não permitindo contato entre as pleuras, não havendo deslizamento pulmonar) (15, 16).

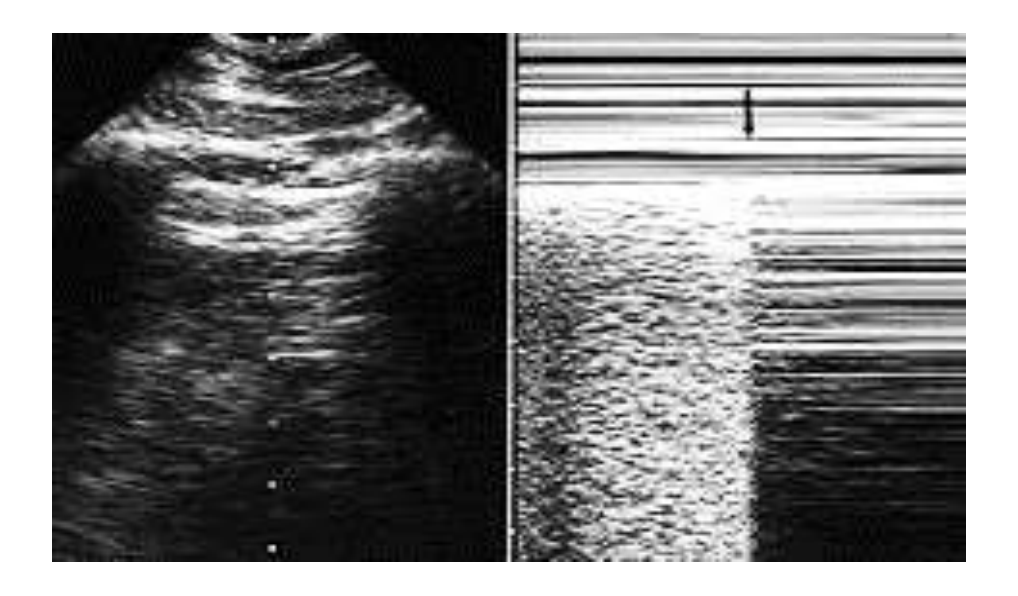


Fig. 5: Imagem de pneumotórax. Imagem em modo bidirecional (à esquerda), evidenciando ausência de deslizamento pulmonar (melhor visualizado de maneira dinâmica) e, à direita, imagem em modo M do ponto pulmonar, região de transição entre a área sadia (à esquerda da seta negra) e área de pneumotórax (à direita da seta= sinal do código de barras ou estratosfera). Adaptado de Liechtenstein D. A. Whole body ultrasonography in the critical ill, Springer 2010.

3.2.4. DERRAME PLEURAL

As efusões pleurais são facilmente detectadas, principalmente com o paciente em decúbito dorsal elevado, em regiões inferiores e posteriores do tórax (15, 16 e 19):



Fig. 6: Imagem de derrame pleural. Imagem obtida na linha axilar media/posterior à esquerda onde observamos grande quantidade de liquido pleural, parte do pulmão consolidado flutuante, linha do diafragma e, logo abaixo, o baço. Foto: acervo do autor. Estudos prévios já evidenciaram maior segurança nas punções torácicas guiadas por ultrassom (6).

3.3. COMPROMETIMENTO PULMONAR NA DOENÇA HEPÁTICA

3.3.1. ASPECTOS GERAIS

Cirrose avançada e hipertensão portal estão associadas à insuficiência respiratória e hipoxemia. Um estudo de 1998, ao avaliar pacientes com doença hepática terminal candidatos à transplante, verificou que 70% se queixavam de dispneia (11).

As causas de dispneia em um paciente hepatopata podem ser secundarias às outras comorbidades, como Doença Pulmonar Obstrutiva Crônica (DPOC), Insuficiência Cardíaca Congestiva, secundária à ascite (11) ou por causas específicas de comprometimento pulmonar na doença hepática avançada, como hidrotórax hepático, hipertensão porto-pulmonar e Síndrome Hepatopulmonar.

Tais alterações prévias podem servir como fatores de confusão ou dificuldade no manejo pós-operatório dos pacientes transplantados hepáticos.

3.3.2. COMPROMETIMENTO PULMONAR NA DOENÇA HEPÁTICA AVANÇADA

SÍNDROME HEPATOPULMONAR

É definida pela presença de gradiente alvéolo-arterial de oxigênio maior que 15 mmHg ou PaO2 menor ou igual à 80 mmHg em ar ambiente, evidência de dilatação vascular intrapulmonar (mediada pela elevação de óxido nítrico e endotelina 1) na vigência de doença hepática e ou hipertensão portal. Está presente em 20% dos pacientes que aguardam transplante hepático (22).

A intensa dilatação vascular pulmonar leva à um distúrbio de ventilação e perfusão, onde há aumento do volume de sangue misto que passa pelos capilares pulmonares sem que ocorra aumento proporcional da ventilação alveolar, ocasionando *shunt* direita-esquerda, que, em estágios avançados, contribui para hipoxemia.

Clinicamente o paciente apresenta sinais e sintomas clássicos de doença hepática associado à dispneia insidiosa e ortopneia (definida como queda da PaO₂ mais que 5% a partir da posição supina para ortostática).

O diagnóstico é dado pela evidência de doença hepática, hipoxemia (gradiente alvéolo-arterial maior que 15 mmHg e PaO2 menor ou igual à 80 mmHg) e pela demonstração de dilatação vascular pulmonar através de ecocardiografia contrastada com microbolhas, angiografia pulmonar, tomografia computadorizada e escaneamento perfusional pulmonar (23).

HIPERTENSÃO PORTOPULMONAR

Definida pela pressão média da artéria pulmonar acima de 25 mmHg em repouso ou acima de 30 mmHg no exercício, com pressão capilar pulmonar menor que 15 mmHg, no contexto de hipertensão portal confirmada. Presente em 5-10% dos pacientes que aguardam transplante hepático (24, 25).

A hipertensão portal pode levar à hipertensão pulmonar por vários mecanismos, incluindo dano endotelial levando ao remodelamento vascular,

proliferação da musculatura lisa vascular, trombose microvascular e desbalanço entre substâncias vasodilatadoras e constritoras (11).

Os pacientes com hipertensão porto-pulmonar apresentam-se com queixa de dispneia e sinais de insuficiência cardíaca direita.

HIDROTÓRAX HEPÁTICO

Definido pela presença de liquido ascítico, geralmente em volume maior que 500 ml, na cavidade pleural, em pacientes cirróticos, na ausência de doença primária cardíaca, pulmonar ou pleural (11).

Os mecanismos de formação do hidrotórax hepático não estão totalmente esclarecidos, porém envolve a passagem do liquido ascítico por pequenos defeitos na porção tendínea do diafragma, facilitado pela pressão negativa exercida pelo tórax.

Os pacientes com hidrotórax hepático apresentam dispneia, tosse e desconforto torácico. O diagnóstico é feito pela detecção de derrame pleural pela ultrassonografia seguida de toracocentese. A análise do liquido mostra um transudato, muito similar ao liquido ascítico, com baixa celularidade e baixa concentração de proteínas (24, 25).

4. MATERIAL E MÉTODOS

4.1. DESENHO DO ESTUDO

Estudo transversal realizado com pacientes em seguimento no ambulatório de transplante hepático no Hospital das Clínicas da Universidade de Campinas (HC-UNICAMP).

4.2. SELEÇÃO DOS INDIVÍDUOS

Foram incluídos indivíduos com diagnóstico de hepatopatia e indicação de transplante hepático, que obedeceram aos seguintes critérios:

4.3. CRITÉRIOS DE INCLUSÃO

Pacientes adultos (> 18 anos) com indicação de transplante hepático em acompanhamento no ambulatório de transplante hepático da UNICAMP. Indicações gerais de transplante hepático:

- Cirrose complicada: ascite, encefalopatia, disfunção de síntese hepática, hepatocarcinoma e sangramento varicoso crônico.
- Complicações sistêmicas da doença Hepática crônica: Síndrome hepatopulmonar, hepatorenal e hipertensão portopulmonar.

4.4. 4.4. CRITÉRIOS DE EXCLUSÃO

- Pacientes com hepatite fulminante
- Pacientes com sangramento varicoso refratário agudo ou crônico agudizado
- Pacientes com cardiopatia definida com fração de ejeção (FE)
 menor que 50% ao ecocardiograma transtorácico
- Pacientes com saturação periférica da hemoglobina menor que 96%, em ar ambiente
 - Pacientes com derrame pleural
- Alterações clínicas que indicassem risco ao paciente durante a avaliação.

4.5. PROCEDIMENTOS PARA A AVALIAÇÃO

O recrutamento dos pacientes foi realizado pelo pesquisador, por meio do ambulatório de transplante hepático do Hospital das Clínicas da Universidade de Campinas. Os pacientes foram informados quanto aos objetivos e procedimentos do estudo. O termo de consentimento livre e esclarecido (anexo 1) foi assinado pelo paciente ou responsável legal, antes da inclusão no estudo. Após a confirmação foram orientados a agendar a avaliação e indicado a data, horário e local da mesma.

Na avaliação, cada paciente foi submetido à coleta de dados e às mensurações que seguem:

- Coleta de dados pessoais
- Avaliação clinica
- Mensuração da função pulmonar com espirometria
- Mensuração da Oximetria de pulso
- Realização de ultrassonografia pulmonar.

4.6. INSTRUMENTOS DE MEDIDA

Avaliação clínica

Avaliados por exame clínico idade, sexo, cálculo do *MELD* (model of end-stage liver disease) e causa da hepatopatia.

Espirometria

As medidas foram realizadas com o aparelho *EasyOne Diagnostic Spirometer Word* (Zurique, Suíça) com os pacientes sentados e em repouso. Inicialmente os pacientes eram orientados a realizar inspiração profunda e direcionar o bocal entre os lábios, realizando uma expiração forçada e rápida, até que seus pulmões fossem completamente esvaziados, seguida de uma respiração profunda novamente. As manobras foram realizadas até que três curvas tecnicamente apropriadas fossem obtidas, então os valores mais altos eram computados. As medidas avaliadas foram: CVF, VEF1 e a relação VEF1/CVF. CVF é definida como o volume máximo de ar que pode ser expirado durante uma expiração forçada. FEV1 é a quantidade de ar que é exalado no primeiro segundo durante a manobra de capacidade vital forçada. A relação FEV1 / CVF é definida como medida que mostra a presença de uma obstrução ao fluxo de ar. Os resultados foram expressos em porcentagem de acordo com preditores metodológicos, epidemiológicos e estatísticos segundo Pereira e colaboradores.

• Diagnóstico de ascite:

Para a pesquisa de ascite foi utilizado o aparelho de ultrassonografia FUJIFILM SonoSite Titan Inc. (Bothell, WA, Estados Unidos da América) com transdutor convexo de 6 MHz e considerado positivo quando detectado líquido em hipocôndrio direito ou esquerdo do abdome.

Oximetria de pulso

Medida da oximetria de pulso nos dedos das mãos (indicador ou médio) em posição ortostática e em decúbito dorsal (após 1 minuto na posição) com o aparelho modelo *Nonin Onyx* 9559, EUA.

Ultrassonografia Pulmonar

Realizado ultrassonografia pulmonar utilizando o aparelho FUJIFILM SonoSite Titan Inc. (Bothell, WA, Estados Unidos da América), com transdutor curvilíneo de 6 MHz, com o paciente deitado, cabeceira elevada à 30 graus de inclinação em maca hospitalar.

O exame seguiu o seguinte protocolo para obtenção de imagens: com o paciente em decúbito horizontal dividiu-se ambos hemitórax em duas regiões no sentido crânio caudal (superior e inferior) e três regiões no sentido anteroposterior (hemiclavicular anterior, linha axilar média e linha axilar posterior ou lateral à escapula) (Anexo 2). Com o transdutor no sentido transversal foi examinado os seis pontos de regiões formadas pela intersecção das linhas traçadas, em ambos os hemitórax. Foi descrito o achado encontrado em cada um desses pontos, de acordo com a presença ou não de linhas B. A presença de linhas B foi considerada positiva quando 3 ou mais linhas no espaço entre uma costela inferior e superior. Além da presença ou não de linhas B foram descritos os outros achados de alterações possíveis de ultrassonografia pulmonar, como presença de atelectasias, consolidações, pneumotórax e derrame pleural (caso presentes).

Análise estatística

Os dados registrados nas avaliações foram revisados manualmente pelo pesquisador. A seguir, foram transcritos e armazenados nos moldes de arquivo para o banco de dados do programa SAS System for Windows versão 9.4 (SAS Institute Inc. 2002 – 2012, Cary, NC, USA), sendo revisados novamente para detecção e correção de possíveis erros de digitação. Os grupos foram comparados usando o teste ANOVA e Kruskal-Wallis. O nível de significância adotado foi de 5%.

Foram avaliadas as seguintes variáveis: Idade (anos), presença de ascite, presença de derrame pleural, presença de linhas B, presença de consolidações/atelectasias, presença de pneumotórax, capacidade vital forçada (%), volume expiratório forcado no primeiro segundo (%)

Os dados foram anotados em formulário do estudo (anexo 2).

5. RESULTADOS

Foram avaliados 59 pacientes, sendo que 3 apresentavam hipoxemia e 7 com derrame pleural, assim excluídos da análise. Os resultados são apresentados na TABELA 1.

Tabela 1: Média e desvio padrão das variáveis estudadas

	acsvio paarao aas v	N	%	Média e DP
Sexo	Masculino	38	77,6	-
	Feminino	11	22,4	-
Idade (anos)		49	-	56,8 ± 6,3
Ascite		11	22,4	-
Linhas B difusas		24	49	-
MELD		49	-	15,8 ± 6,5
CVF (% do		49	-	79,6 ± 13,1
previsto)				
VEF1 (% do		49	-	83,5 ± 14,4
predito)				
VEF1/CVF		49	-	105,0 ± 6,6
Diagnóstico	Alcoólica	8	16,3	
	Autoimune	1	2,0	
	Criptogênica	4	8,1	
	Doença	1	2,0	
	policística			
	Hepatite C	12	24,4	
	Hepatocarcinoma	17	34,6	
	e hepatite C			
	Hepatite B	2	4,0	
	Hepatocarcinoma	4	8,1	
	não hepatite C			

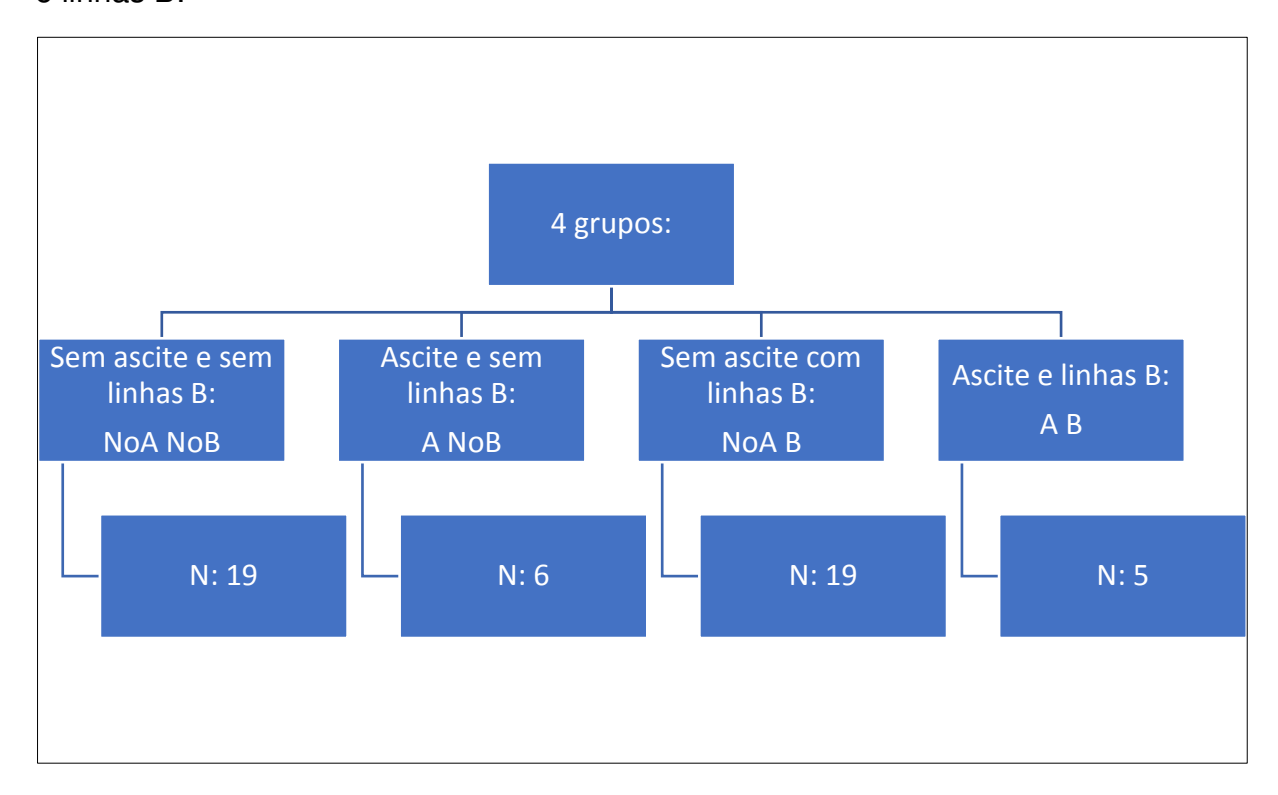
DP: desvio padrão com intervalo de confiança de 95%, MELD: model of end-stage liver disease., CVF: capacidade vital forçada, VEF: volume expiratório forçado no primeiro segundo.

Nos restantes 49 pacientes ascite foi detectada em 11 (22%) deles e linhas B em 24 (49%).

Com base neste resultado, os pacientes foram divididos em 4 grupos: ascite ausente, sem linhas B (grupo NoA NoB) ou com linhas B (grupo NoA B) e

ascite presente, sem linhas B (grupo A NoB) ou com linhas B (grupo AB), como exibido no QUADRO 1.

QUADRO 1: Distribuição dos grupos baseada na presença de ascite e linhas B:



Os achados exclusivos de CVF, VEF1 e VEF1/CVF para cada grupo e a comparação com os valores preditos são mostrados na TABELA 2.

Tabela 2: valores médios para CVF, VEF1 e VEF1/CVF para cada grupo e comparação com os valores preditos.

Grupos	CVF	р	VEF1		р	VEF1/CVF	Р
NoA NoB	88,3 ± 13,8	-	94,8	±	-	108,2 ± 4,8	-
			12,6				
A NoB	66,8 ± 10,2	0,001	71,3	±	0,0004	105,5 ± 7,6	-
			13,2				
NoA B	76,1 ± 9,2	0,0058	78,5	±	0,0001	102,9 ± 6,3	-
			10,3				
АВ	75,6 ± 2,8	-	74,2 ± 7,	6	0,0035	100,8 ± 9,2	-

CVF: capacidade vital forçada, VEF1: volume expiratório final no primeiro segundo, VEF1/CVF: razão de proporcionalidade, NoA NoB: ausência

de ascite e linhas B, A NoB: ascite presente e linhas B ausentes, NoA B: ascite ausente e linhas B presentes, A B: presente de ascite e linhas B.

A comparação entre a CVF mostrou média de 88,3% do previsto no grupo NoA NoB e 76,1% do previsto no grupo NoA B (p = 0,0058). No grupo A NoB foi encontrada uma CVF média de 66,8% e 75,6% no grupo A B não mostrando diferença (p = 0,1998). Comparando o grupo NoA NoB com o grupo A NoB apresentou pior CVF com uma média de 66,8% do previsto para o último (p = 0,0010). Não houve diferença entre os grupos restantes quando comparados os valores de CVF (FIGURA 7).

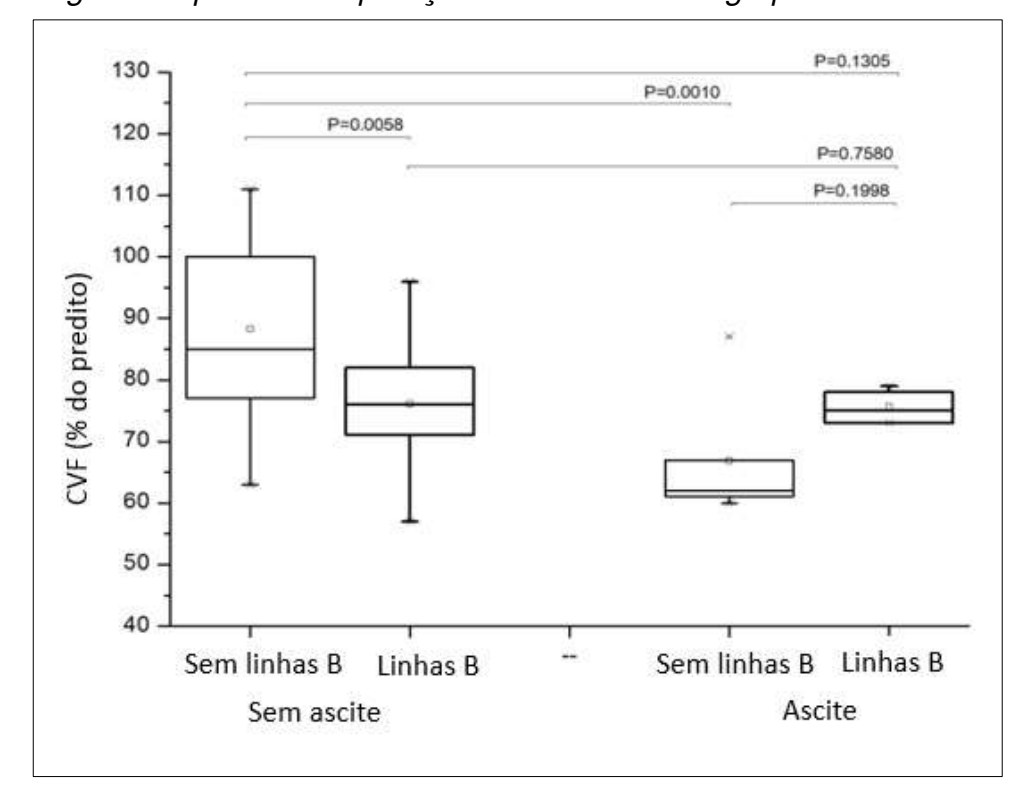


Fig. 7: Boxplot da comparação de CVF entre os grupos:

Ao observar os valores de VEF1, foi encontrada média de 94,8% do previsto no grupo NoA NoB e 78,5% do predito no grupo NoA B (p = 0,0001). No grupo A NoB foi encontrada VEF1 média de 71,3% e 74,2% no grupo A B não evidenciando diferença significante (p = 0,7901). Comparando o grupo NoA NoB com uma VEF1 média de 94,8% e o grupo A NoB apresentou pior VEF1 com média de 71,3% do predito (p = 0,0004). A comparação VEF1 entre o grupo NoA NoB com o grupo A B (média VEF1 de 74,2%) mostrou diferença significativa (p

= 0,0035). Não houve diferença entre os grupos restantes quando comparados os valores de VEF1 (FIGURA 8).

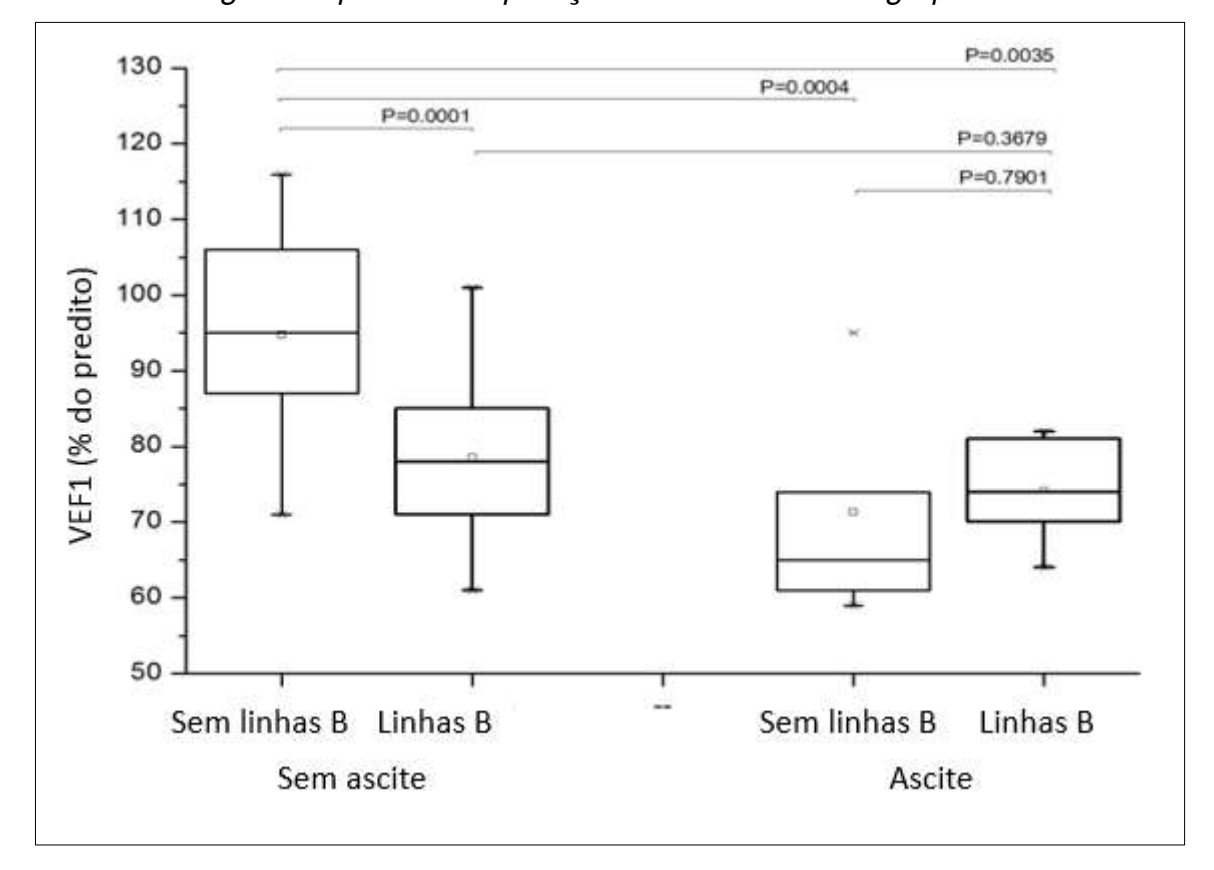


Fig.8: Boxplot da comparação de VEF1 entre os grupos:

A relação VEF1 / CVF também foi comparada. O grupo NoA NoB apresentou média de 108,2% do previsto e o grupo NoA B apresentou média de 102,9%. Os pacientes com ascite e sem linha B difusa (grupo A NoB) apresentaram média de 105,5% e o grupo A B apresentou média de 100,8%. Todas essas comparações não mostraram diferenças estatísticas (p> 0,05).

Utilizando o teste de Kruskal-Wallis foi encontrada relação no escore MELD entre a pontuação mais baixa e a mais alta para os pacientes no grupo NoA NoB (MELD = 13.1 ± 5.0) e pacientes no grupo AB (MELD = 22.4 ± 10.1) (p = 0.0229), como mostrado na TABELA 3.

TABELA 3: comparação dos achados com os valores de MELD

Ascite	Linhas B	N	Média do <i>MELD</i>	DP	Valor de p
0	0	19	13,1	5,0	$00 \times 11 = 0,0229$
0	1	19	15,5	4,9	
1	0	6	20,3	7,9	
1	1	5	22,4	10,1	

0: ausência do achado, 1: presença do achado, N: tamanho da amostra, MELD: model of end-stage liver disease, DP: desvio padrão no intervalo de confiança de 95%, p: < 0,05

6. DISCUSSÃO

A cirrose hepática evolui com complicações locais e sistêmicas. Embora os avanços no manejo da doença tenham resultado em melhora da sobrevida, a mortalidade ainda pode atingir cerca de 26,4% dos casos em 2 anos, sendo o acometimento pulmonar uma condição capaz de elevar exponencialmente a mortalidade destes doentes e contribuir com piora da qualidade de vida, caso sobrevivam (26).

Apesar da evolução no diagnóstico das complicações pulmonares no doente cirrótico e na fisiopatologia dessas condições, ainda há uma lacuna sobre a repercussão funcional de cada um de seus componentes, pois além da influência bem definida de ascite e derrame pleural na função pulmonar (27 e 28), existe o papel da síndrome hepatopulmonar e hipertensão portopulmonar ambas contribuindo para o agravo da mesma (22 e 24) embora o papel destas na função pulmonar ainda não tão claros (26).

No estudo foram avaliados 56 pacientes, sendo que 7 (12,5%) foram excluídos da análise, pois apresentavam derrame pleural. A prevalência foi acima da média encontrada na literatura (6 – 8%), segundo Norvell (29), provavelmente por incluir pacientes com doença hepática mais avançada. Ascite foi encontrada em 11 pacientes (22%), podendo sua prevalência atingir até 50% dos pacientes cirróticos (30). O sexo masculino foi predominante (n = 38, 77,6%) e a etiologia mais comum foi infecção por vírus C, presente em 29 pacientes (59%), seguida por álcool, coincidindo com a literatura mundial (31).

Ao exame de ultrassonografia pulmonar foram encontrados 24 pacientes (49%) que apresentavam linhas B bilaterais na avaliação, conforme descrito anteriormente. Assim, os achados foram divididos em quatro grupos de pacientes: pacientes sem ascite e sem linhas B (NoA NoB = 19 pacientes), pacientes com ascite e sem linhas B (A NoB = 6 pacientes), pacientes sem ascite e com linhas B (NoA B = 19 pacientes) e pacientes que apresentavam ascite e linhas B (A B = 5 pacientes).

No grupo de pacientes NoA NoB foram encontrados valores médios de CVF, VEF1 e VEF1/CVF correspondendo ao predito na população e grupo etário (32) foram, respectivamente: 88,3; 94,8% e 108,2%.

Ao avaliar o efeito da ascite, comparamos o grupo A NoB com o grupo NoA NoB e foi observado média da CVF de 66,8% do predito (p = 0,0010), VEF1 médio de 71,3% (p = 0,0004) ambos evidenciando redução estatística significante e relação VEF1/CVF de 105,5% do predito. Ao comparar à um estudo de 2008, realizado por Yigit e colaboradores com 39 pacientes (27), não foi observado diferença na CVF e VEF1 entre pacientes com e sem ascite: 90,1 \pm 23.3 e 95,1 \pm 13.2% para CVF e 82,5 \pm 22,5 e 92,5 \pm 11,5% para VEF1. Foi verificado diferença significativa para os valores da relação VEF1/CVF (74,4 \pm 10,5 e 81,8 \pm 8,6%, p = 0,021) e para valores de FEF 25-75% (não sendo avaliado em nosso estudo).

Ainda avaliando o efeito da ascite na função pulmonar, um estudo realizado por Chang e colaboradores com 26 pacientes cirróticos (33) mostrou os mesmos efeitos observados em nosso estudo, isto é, redução de VEF1 (70,5 ± 13,6%), CVF (65,2 ± 14,2%) e valores de VEF1/CVF (82,0 ± 7,3%) próximos ao valor predito. A queda da CVF observada pode ser atribuída ao efeito restritivo da ascite, impedindo a expansão torácica e a queda do VEF1 como resultado de uma diminuição do fluxo aéreo proporcional, pelo mesmo mecanismo restritivo, resultando em uma relação VEF1/CVF normal.

No grupo de pacientes com a presença de linhas B à ultrassonografia e sem ascite (NoA B) foi encontrado redução significativa nos valores de CVF e VEF1 (76,1% do predito com p = 0,0058 e 78,5% do predito com p = 0,0001). Não houve diferença na relação VEF1/CVF quando comparado ao grupo sem ascite e sem linhas B (média = 102,9%).

A função pulmonar pode sofrer influência de diversos fatores como exposição aos diversos tipos de poluentes durante a vida (fumantes passivos, fumaça de fogão a lenha), hábitos de vida (tabagismo), risco ocupacional (mineradores, fumaça industrial) e genéticos (deficiência de alfa 1 anti-tripsina). Como já citado a presença de ascite e derrame pleural também diminuem a capacidade pulmonar. Em relação aos fatores de risco para doença pulmonar não houve medida para uniformizar a amostra, pois a maioria destes fatores não são controláveis ou modificáveis no presente momento da avaliação. Apesar

disso, está bem definido na literatura que os pacientes com doença pulmonar obstrutiva crônica não apresentam linhas B na ultrassonografia pulmonar na ausência de outra comorbidade que acarrete edema intersticial (2) e que, para o diagnóstico de doença pulmonar obstrutiva crônica é necessário, como requisito, uma relação VEF1/CVF menor que 70% (34), o que não ocorreu nos pacientes estudados na pesquisa.

A redução da CVF provavelmente resulta do edema interstícioalveolar, levando à diminuição da complacência pulmonar. A queda de VEF1 pode ocorrer por edema bronquiolar, resultando em diminuição de seu calibre e, consequentemente em obstrução do fluxo aéreo.

Observando o grupo AB, foi detectado redução no VEF1 em relação ao grupo NANB (74,2 e 88,3) com p = 0,0035. Não houve diferença nos outros parâmetros avaliados para esse grupo, provavelmente pelo pequeno tamanho da amostra (n = 5), o que traduz os pacientes mais graves e descompensados.

Não foram encontrados dados na literatura comparando os achados de provas de função e ultrassonografia pulmonar em pacientes cirróticos. A presença de linhas B relacionada à queda dos parâmetros de função pulmonar, em pacientes sem ascite e sem derrame pleural, exige teoria fisiopatológica diferente da teoria do aumento da pressão hidrostática por elevação da pressão portal. Deve-se considerar também que não é evidente na literatura o papel da hipoalbuminemia nos derrames cavitários em pacientes cirróticos (24).

Sabe-se que o componente inflamatório em algumas doenças crônicas contribui para um estado persistente de liberação de mediadores inflamatórios. Na cirrose isso é evidente, pois além de do estado inflamatório, a translocação bacteriana é fator chave em perpetuar o processo (24) em diversas síndromes relacionadas. A presença de linhas B nestes pacientes pode ser um marcador do acometimento pulmonar resultante deste processo inflamatório, embora a presença de infiltrado pulmonar em cirróticos seja pouco relatada e estudada na literatura (35). Tanto o papel inflamatório como o componente de hipoalbuminemia podem influenciar no achado.

Como citado anteriormente a presença de atelectasias podem simular o achado de linhas B se forem detectadas posteriormente no tórax (15, 16 e 36), o que poderia ser um fator de confusão na avaliação. Porém, a presença de atelectasias em região posterior foi estudada em pacientes acamados, o que não

era o caso dos pacientes avaliados nesta pesquisa. Além disso, a presença de expansibilidade, confirmada pela presença de deslizamento pleural e a presença de linhas B anteriormente ao tórax diminuam a possibilidade de atelectasias, o que fortalece a hipótese da presença de infiltrado pulmonar nos pacientes estudados.

Verificou-se maior valor na pontuação MELD no grupo de pacientes com ascite e linhas B (MELD = 22.4 ± 10.1) com p = 0.0229; mostrando provável relação com a gravidade da doença e sugerindo que a presença de linhas B seja influenciada pelos mesmos fatores que a ascite. Não foram encontrados dados até o momento na literatura comparando a pontuação MELD com a presença de linhas B.

7. CONCLUSÃO

A avaliação ultrassonográfica dos pacientes cirróticos detectou presença de edema intersticial pulmonar mesmo em pacientes que não apresentavam ascite ou derrame pleural e, na comparação com testes de função pulmonar, demonstrou redução na CVF e VEF1, revelando um padrão restritivo. A interação entre ascite e linhas B precisa de maior investigação. Esses pacientes apresentaram pior MELD e a relação com a presença de linhas B pode ter uma via fisiopatológica comum.

8. REFERÊNCIAS:

- 1) Kajimoto K, Madeen K, Nakayama T, Tsudo H, Kuroda T, Abe T. Rapid evaluation by lung-cardiac-inferior vena cava (LCI) integrated ultrasound for differentiating heart failure from pulmonary disease as the cause of acute dyspnea in the emergency setting. Cardiovasc Ultrasound. 2012 Dec 4;10(1):49. doi: 10.1186/1476-7120-10-49.
- 2) Lichtenstein DA1, Mezière GA. Relevance of lung ultrasound in the diagnosis of acute respiratory failure: the BLUE protocol. Chest. 2008 Jul;134(1):117-25. doi: 10.1378/chest.07-2800. Epub 2008 Apr 10.
- 3) Volpicelli G, Skurzak S, Boero E, Carpinteri G, Tengattini M, Stefanone V, Luberto L, Anile A, Cerutti E, Radeschi G, Frascisco MF. Lung ultrasound predicts well extravascular lung water but is of limited usefulness in the prediction of wedge pressure. Anesthesiology. 2014 Aug;121(2):320-7. doi: 10.1097.
- 4) Montoya J, Stawicki SP, Evans DC, Bahner DP, Sparks S, Sharpe RP, Cipolla J. From FAST to E-FAST: an overview of the evolution of ultrasound-based traumatic injury assessment. Eur J Trauma Emerg Surg. 2015 Mar 14.
- 5) Pislaru SV, Michelena HI, Mankad SV. Interventional echocardiography. Prog Cardiovasc Dis. 2014 Jul-Aug;57(1):32-46. doi: 10.1016/j.pcad.2014.05.009. Epub 2014 May 21.
- 6) Jones PW1, Moyers JP, Rogers JT, Rodriguez RM, Lee YC, Light RW. Ultrasound-guided thoracentesis: is it a safer method? Chest. 2003 Feb;123(2):418-23.
- 7) Schmidt GA1, Maizel J, Slama M. Ultrasound-guided central venous access: what's new? Intensive Care Med. 2015 Apr;41(4):705-7. doi: 10.1007/s00134-014-3628-6.
- 8) Xirouchaki N1, Kondili E, Prinianakis G, Malliotakis P, Georgopoulos D. Impact of lung ultrasound on clinical decision making

in critically ill patients. Intensive Care Med. 2014 Jan;40(1):57-65. doi: 10.1007/s00134-013-3133-3. Epub 2013 Oct 25.

- 9) Hendrikse KA1, Gratama JW, Hove Wt, Rommes JH, Schultz MJ, Spronk PE. Low value of routine chest radiographs in a mixed medical-surgical ICU. Chest. 2007 Sep;132(3):823-8.
- 10) Porta F, Gargani L, Kaloudi O, Schmidt WA, Picano E, Damjanov N, Matucci-Cerinic M. The new frontiers of ultrasound in the complex world of vasculitis and scleroderma. Rheumatology (Oxford). 2012 Dec;51 Suppl 7:vii26-30. doi: 10.1093/rheumatology/kes336.
- 11) Sood, G., M. B. Fallon, S. Niwas, T. Tutton, D. I. van Leeuwen, I. R. Bloomer, B. M. McGuire et al. "Utility of a dyspnea-fatigue index for screening liver transplant candidates for hepatopulmonary syndrome." In *Hepatology*, vol. 28, no. 4, pp. 742A-742A.
- 12) Hemprich U1, Papadakos PJ, Lachmann B. Respiratory failure and hypoxemia in the cirrhotic patient including hepatopulmonary syndrome. Curr Opin Anaesthesiol. 2010 Apr;23(2):133-8.
- 13) Lichtenstein D, Axler O. Intensive use of general ultrasound in the intensive care unit. Prospective study of 150 consecutive patients. Intensive Care Med. 1993;19(6):353-5.
- 14) Liechtenstein D. Lung ultrasound: a method of the future in intensive care? Rev Pneumol Clin 1997; 53:63-68
- 15) Lichtenstein D. Lung ultrasound in the critically ill. Curr Opin Crit Care. 2014 Jun;20(3):315-22. doi: 10.1097/MCC.
- DA, Mathis G, Kirkpatrick AW, Melniker L, Gargani L, Noble VE, Via G, Dean A, Tsung JW, Soldati G, Copetti R, Bouhemad B, Reissig A, Agricola E, Rouby JJ, Arbelot C, Liteplo A, Sargsyan A, Silva F, Hoppmann R, Breitkreutz R, Seibel A, Neri L, Storti E, Petrovic T; International Liaison Committee on Lung Ultrasound (ILC-LUS) for International Consensus Conference on Lung Ultrasound (ICC-LUS). International evidence-based recommendations for point-of-care lung

- ultrasound. Intensive Care Med. 2012 Apr;38(4):577-91. doi: 10.1007/s00134-012-2513-4. Epub 2012 Mar 6.
- 17) Miglioranza MH1, Gargani L, Sant'Anna RT, Rover MM, Martins VM, Mantovani A, Weber C, Moraes MA, Feldman CJ, Kalil RA, Sicari R, Picano E, Leiria TL. Lung ultrasound for the evaluation of pulmonary congestion in outpatients: a comparison with clinical assessment, natriuretic peptides, and echocardiography. JACC Cardiovasc Imaging. 2013 Nov;6(11):1141-51. doi: 10.1016/j.jcmg.2013.08.004. Epub 2013 Oct 2.
- 18) Agricola E, Bove T, Oppizzi M, Marino G, Zangrillo A, Margonato A, Picano E. "Ultrasound comet-tail images": a marker of pulmonary edema: a comparative study with wedge pressure and extravascular lung water. Chest. 2005 May;127(5):1690-5.
- 19) Sperandeo M, Rotondo A, Guglielmi G, Catalano D, Feragalli B, Trovato GM. Transthoracic ultrasound in the assessment of pleural and pulmonary diseases: use and limitations. Radiol Med. 2014 Oct;119(10):729-40. doi: 10.1007/s11547-014-0385-0. Epub 2014 Feb 5. Review.
- 20) Lichtenstein D. FALLS-protocol: lung ultrasound in hemodynamic assessment of shock. Heart Lung Vessel. 2013;5(3):142-7. Review.
- 21) Lichtenstein DA, Mezière GA, Lagoueyte JF, Biderman P, Goldstein I, Gepner A. A-lines and B-lines: lung ultrasound as a bedside tool for predicting pulmonary artery occlusion pressure in the critically ill. Chest. 2009 Oct;136(4):1014-20. doi: 10.1378/chest.09-0001.
- 22) Huffmyer JL1, Nemergut EC. Respiratory dysfunction and pulmonary disease in cirrhosis and other hepatic disorders. Respir Care. 2007 Aug;52(8):1030-6
- 23) Grace JA1, Angus PW. Hepatopulmonary syndrome: update on recent advances in pathophysiology, investigation, and treatment. J Gastroenterol Hepatol. 2013 Feb;28(2):213-9. doi: 10.1111/jgh.12061.

- 24) Singh C, Sager JS. Pulmonary complications of cirrhosis. Med Clin North Am. 2009 Jul;93(4):871-83, viii. doi: 10.1016/j.mcna.2009.03.006. Review.
- 25) Machicao VI1, Balakrishnan M, Fallon MB Pulmonary complications in chronic liver disease. Hepatology. 2014 Apr;59(4):1627-37. doi: 10.1002/hep.26745. Epub 2014 Feb 25.
- 26) Surani SR, Mendez Y, Anjum H, Varon J.Pulmonary complications of hepatic diseases. World J Gastroenterol. 2016 Jul 14;22(26):6008-15.
- 27) Yigit IP, Hacievliyagil SS, Seckin Y, Oner RI, Karincaoglu M. The relationship between severity of liver cirrhosis and pulmonary function tests. Dig Dis Sci. 2008 Jul;53(7):1951-6.
- 28) Mitrouska I, Klimathianaki M, Siafakas NM. Effects of pleural effusion on respiratory function. Can Respir J. 2004 Oct;11(7):499-503.
- 29) Norvell JP, Spivey JR. Hepatic hydrothorax. Clin Liver Dis 2014; 18: 439-449.
- 30) Runyon BA. Management of adult patients with ascites caused by cirrhosis. Hepatology. 1998;27:264 72.
- 31) Heidelbaugh JJ, Bruderly M. Cirrhosis and chronic liver failure: part I. Diagnosis and evaluation. Am Fam Physician 2006; 74:756.
- 32) Pereira CAC, Barreto SP, Simões JG, Pereira FWL, Gerstler JG, Nakatani J. Valores de Referência para Espirometria em uma amostra da população brasileira adulta. Jornal de Pneumologia 1992; 18:10-22.
- 33) Chang SC, Chang HI, Chen FJ, Shiao GM, Wang SS, Lee,SD.Therapeutic effects of diuretics and paracentesis on lung function in patients with nonalcoholiccirrhosis and tense ascites.JHep atol. 1999Apr;26(4):833-8.
- 34) Qaseem A, Wilt TJ, Weinberger SE, Hanania NA, Criner G, van der Molen T, Marciniuk DD, Denberg T, Schünemann H, Wedzicha W, MacDonald R, Shekelle P; American

of College of Physicians; American College Chest Physicians; American Thoracic Society; European Respiratory Society. Diagnosis and management of stable chronic obstructive pulmonary disease: a clinical practice guideline update from the American College of Physicians, American College of Chest Physicians, American Thoracic Society, and European Respiratory Society.Ann Intern Med. 2011 Aug 2;155(3):179-91. doi: 10.7326/0003-4819-155-3-201108020-00008. Poordad FF. Presentation and complications associated with cirrhosis of the liver. Curr Med Res Opin. 2015 May;31(5):925-37. doi: 10.1185/03007995.2015.1021905.

35) Yu X, Zhai Z, Zhao Y, Zhu Z, Tong J, Yan J, Ouyang W. Performance of Lung Ultrasound in Detecting Peri-Operative Atelectasis after General Anesthesia Ultrasound Med Biol. 2016 Dec;42(12):2775-2784. doi: 10.1016/j.ultrasmedbio.2016.06.010. Epub 2016 Sep 14.

9. ANEXOS

Anexo 1: TERMO DE CONSENTIMENTO LIVRE E ESCLARECIDO

ULTRASSONOGRAFIA PULMONAR DESCRITIVA NO PACIENTE EM LISTA PARA TRANSPLANTE HEPÁTICO

RESPONSAVEIS

Paulo Osni Leao Perin (CRM 121306 SP) CONTATO: (19) 35218581

Prof. Dr. Luiz Claudio Martins (CRM 67284 SP)

Profa. Dra. Ilka de Fátima S. F. Boin (CRM 38034 SP)

Ft. Dra. Áurea Maria Oliveira da Silva (CREFITO 10163-F)

Número do CAAE: 47841415.0.0000.5404

Você está sendo convidado a participar como voluntário de uma pesquisa. Este documento, chamado Termo de Consentimento Livre e Esclarecido, visa assegurar seus direitos como participante e é elaborado em duas vias, uma que deverá ficar com você e outra com o pesquisador.

Por favor, leia com atenção e calma, aproveitando para esclarecer suas dúvidas. Se houver perguntas antes ou mesmo depois de assiná-lo, você poderá esclarecê-las com o pesquisador. Se preferir, pode levar este Termo para casa e consultar seus familiares ou outras pessoas antes de decidir participar. Se você não quiser participar ou retirar sua autorização, a qualquer momento, não haverá nenhum tipo de penalização ou prejuízo.

Justificativa e objetivos:

Os pacientes que estão aguardando o transplante de fígado podem apresentar falta de ar por várias causas. Entre elas, o edema de pulmão (presença de liquido nos pulmões) pode causar falta de ar antes do transplante e causar complicações durante e depois da cirurgia.

O objetivo desse estudo é detectar sinais de edema pulmonar antes mesmo do paciente apresentar falta de ar, através da ultrassonografia pulmonar.

Procedimentos:

Participando do estudo você está sendo convidado a passar por uma avaliação para examinar sua força para assoprar (força dos músculos respiratórios), atividade elétrica dos músculos da respiração (entre eles o músculo diafragma), medida de oxigenação na ponta dos dedos e realizar ultrassonografia do pulmão, que consiste em um exame de imagem no qual é aplicado um gel sobre o tórax e passado um transdutor sobre a pele e visualizado uma imagem na tela do aparelho, da mesma maneira que são feitos o ultrassom de abdomem ou o ecocardiograma.

Farão parte do estudo todos os pacientes que estiverem na lista para transplante de fígado e são tratados no ambulatório do Gastrocentro – Unicamp, que aceitarem fazer parte do estudo.

Desconfortos e riscos:

Você <u>não</u> deve participar deste estudo se possui falta de ar extrema ao deitar-se, ao caminhar poucos passos ou caso perceba que os lábios ou os dedos fiquem roxos (cianóticos) durante as atividades comuns do cotidiano.

Os exames que serão feitos usarão aparelhos não invasivos, ou seja, não oferecem riscos ao paciente, porém, caso o paciente apresente algum desconforto (como: falta de ar, cansaço e palpitações no coração), todos os exames serão interrompidos e poderão ser realizados em outro momento, quando o paciente estiver sentindo-se melhor. Além disso, no local onde serão realizados os testes (Gastrocentro- HC UNICAMP), contamos com equipe médica no local para suporte do paciente.

Benefícios:

Com nosso estudo, esperamos que os pacientes se beneficiem de um tratamento mais adequado às complicações respiratórias e capacidade física, melhorando assim, os cuidados antes, durante, depois da cirurgia e sua qualidade de vida após o transplante.

Os participantes terão acesso garantido aos dados durante qualquer momento da pesquisa, além de informações e esclarecimentos quando surgirem dúvidas.

Acompanhamento e assistência:

Todos os exames deste estudo serão explicados pelo pesquisador de forma clara, assim como todas as dúvidas serão esclarecidas previamente à assinatura de concordância ou em qualquer momento do estudo.

Os exames serão realizados em um único dia, aproveitando o retorno do paciente numa data de consulta marcada previamente no ambulatório. Assim, o participante não terá que se deslocar ou ter custos adicionais por estar participando do estudo.

Sigilo e Privacidade:

Você tem a garantia de que sua identidade será mantida em sigilo e nenhuma informação será dada a outras pessoas que não façam parte da equipe de pesquisadores.

Na divulgação dos resultados desse estudo, seu nome não será citado. Todos os dados coletados e identidade dos pacientes serão mantidos em sigilo, sendo somente utilizada para fins de pesquisa científica e dados de prontuário médico. Os sujeitos que farão parte da pesquisa podem recusar-se a participar a qualquer momento. Não haverá danos, penalidade ou prejuízo ao seu tratamento, nem represálias de qualquer natureza.

Ressarcimento:

A pesquisa não gera despesas para os participantes, pois será realizada no dia das consultas, enquanto aguarda o atendimento, assim como não haverá reembolsos.

Responsabilidade pela prestação de cuidados

Em caso de dano decorrente da pesquisa, está garantida a assistência integral e imediata de forma gratuita. Você também tem o direito a indenização em caso de danos.

Contato:

Em caso de dúvidas sobre o estudo, você poderá entrar em contato com o pesquisador responsável:

- Paulo Osni Leão Perin, telefone: (19) 3521-8581, Gastrocentro, Departamento de Transplante Hepático, UNICAMP.
- Endereço: Rua: Carlos Chagas, 420 Cidade Universitária, Campinas SP, CEP 13083-878.
 - E-mail: pauloleaoperin@hotmail.com

Em caso de denúncias ou reclamações sobre sua participação e sobre questões éticas do estudo, você pode entrar em contato com a secretaria do Comitê de Ética em Pesquisa (CEP) da UNICAMP das 08:30hs às 13:30hs e das 13:00hs as 17:00hs na Rua: Tessália Vieira de Camargo, 126; CEP 13083-887 Campinas — SP; telefone (19) 3521-8936; fax (19) 3521-7187; e-mail: cep@fcm.unicamp.br

Consentimento livre e esclarecido:

Após ter recebido esclarecimentos sobre a natureza da pesquisa, seus objetivos, métodos, benefícios previstos, potenciais riscos e o incômodo que esta possa acarretar, aceito participar:

	Nome	do	(a)	participante:
				·
	(Assinatura d	o participante ou r	nome e assinatura	do seu responsável
LEGAL)				
	Responsabilio	dade do Pesquisa	dor:	
	Asseguro ter o	cumprido as exigê	ncias da resolução	466/2012 CNS/MS
e comple	mentares na e	laboração do prot	ocolo e na obtenç	ão deste Termo de
Consentir	mento Livre e E	sclarecido. Asseg	uro, também, ter ex	oplicado e fornecido
uma via d	deste documer	nto ao participante	e. Informo que o e	studo foi aprovado
pelo CEP	perante o qua	l o projeto foi apre	esentado. Compror	neto-me a utilizar o
material e	os dados obti	dos nesta pesquis	sa exclusivamente	para as finalidades
previstas	neste documer	nto ou conforme o	consentimento dad	lo pelo participante.
	Data:/_			
	(Assina	atura do pesquisad	dor)	

Anexo 2: Formulário: US pulmonar no paciente listado para TX de fígado Data: Nome:_____ Idade: HC: Diagnósticos: 1. 2. 3. 4. 5. Saturação de Oxigênio: PESO: Deitado: **ALTURA**: Ortostático: Frequência Cardíaca: Deitado: Ortostático: **OBSERVAÇÕES:** PIM: PEM: Derrame pleural:

Ascite:

Jugular Direita:

Jugular Esquerda:
ougulai =oquoluai

Veia Cava Inferior:

US pulmonar:

	PD	MD	AD	AE	ME	PE
Superior						
Inferior						

Anexo 3: Artigo publicado na revista Transplantation Proceedings (Maio de 2017).





Lung Ultrasound and Pulmonary Function Test in Cirrhotic Patients

P. Osni Leão Perin^{a,*}, I. de Fátma Ferreira Santana Boin^b, A.M. Oliveira da Silva^c, F. Chueiri Neto^a, and L.C. Martins^d

^aGeneral Intensive Care Unit, Surgery Department, State University of Campinas, Campinas, Brazil; ^bLiver Transplantation Unit, Surgery Department, State University of Campinas, Campinas, Brazil; ^cGastrocentro, Surgery Department, State University of Campinas, Campinas, Brazil; and ^dInternal Medicine Department, State University of Campinas, Brazil

ABSTRACT

Lung ultrasound (LU) is useful in the diagnosis of pulmonary interstitial-alveolar syndrome (IAS) when B-lines are detected. Its prevalence and effect in lung function is not well studied in cirrhotic patients. The objective of this study was to detect the prevalence of interstitial-alveolar involvement with LU and correlate with pulmonary function test to distinguish the effect of ascites and B-lines in pulmonary function. This was an observational single-center study with 49 patients listed for liver transplantation submitted for LU and pulmonary function tests. Patients were divided into 4 groups: no ascites and no B-lines (n=19), B-lines only (n=19), ascites only (n=6), and ascites and B-lines (n=5). There was a worse forced vital capacity (FVC) in patients with B-lines only $(76.1\% \pm 9.2; P=0.058)$ and ascites only $(66.8\% \pm 10.2; P=0.010)$. 1-second forced expiratory volume (FEV₁) also was lower in patients with B-lines only $(78.5\% \pm 10.3; P=0.001)$, ascites only $(71.3\% \pm 13.2; P=0.004)$, and B-lines and ascites $(74.2\% \pm 7.6; P=0.0035)$. Model for End-Stage Liver Disease score was worse in the group with ascites and B-lines $(22.4\pm 10.1; P=0.0229)$. B-Lines reduced FVC and FEV₁ in our study and may be an independent factor in worsening pulmonary function in these patients.

LUNG ultrasound (LU) is a powerful tool in the diagnosis of pulmonary interstitial-alveolar syndrome (IAS) [1]. Ultrasound waves are almost completely reflected by normal aerated lungs, generating reverberation artifacts called A-lines; however, interstitial-alveolar involvement (hemodynamic, inflammatory, or fibrotic) shows other artifacts known as B-lines. These are vertical sonographic artifacts that arise from the pleural line, move during the respiratory cycle, are well defined, continue without fading until the edge of the screen, are hyperechoic, and erase the A-lines [2].

Cirrhosis has well established effects on respiratory function as a consequence of pulmonary edema, hepatic hydrothorax, atelectasis, portopulmonary hypertension, and hepatopulmonary syndrome [3]. Ascites is a common complication of patients with cirrhosis and it may also cause a negative impact in the pulmonary function test (PFT), as shown in some small studies [4,5], but the results do not have full agreement.

In the present study, we proposed the use of LU to detect the prevalence of interstitial-alveolar involvement (hydrostatic fibrotic or inflammatory) in cirrhotic patients and correlate it with PFT in different groups to distinguish the real effect of ascites and the contribution of B-lines in pulmonary function.

METHODS

This was an observational study performed over a period of 14 months. Fifty-six patients were evaluated according to the following inclusion criteria: adults with end-stage liver disease listed for liver transplant at the Clinical Hospital of State University of Campinas. The exclusion criteria were fulminant hepatitis, patients with pleural effusion, cardiomyopathy with ejection fraction <50%, and signs of pulmonary hypertension on echocardiography. Patients with hypoxemia also were excluded.

The study was approved by the local Ethics Committee, and all of the patients gave informed consents to participate in the study. The

*Address correspondence to Paulo Osni Leão Perin, State University of Campinas, Amélia Maria de Paula Venturini Street, 121, Campinas, Brazil, CEP: 13086-061. E-mail: pauloleaoperin@gmail.com

© 2017 Elsevier Inc. All rights reserved. 230 Park Avenue, New York, NY 10169

0041-1345/17 http://dx.dpi.org/10.1016/i.transproceed.2017.01.046 recruitment was made during routine consultation at clinic, After reading and signing the consent terms, patients were submitted to the tests, including: personal data collection, Model for End-Stage Liver Disease (MELD) calculation [6], PFT with measurement of forced expiratory volume of 1st second (FEV₁), forced vital capacity (FVC), FEV₁/FVC ratio, pulse oximetry measurement, abdominal ultrasound exam to detect ascites, and LU.

Pulmonary Function Test

PFT measurements were performed with the use of Easyone Diagnostic Spirometer (Zurich, Switzerland) while the patients were sitting and at rest. First, patients were told to take a deep breath and then to take the mouthpiece in between their lips and make a forced and fast expiration until their lungs were completely emptied, and then to take a deep breath again. These maneuvers were performed until 3 technically appropriate curves were obtained, and the highest values were chosen. Measurements of FVC, FEV₁, and FEV₁/FVC were performed. FVC is accepted as the maximum volume of air that can be expired during a forced expiration. FEV₁ is the amount of air that is exhaled in the 1st second during the FVC maneuver. The FEV₁/FVC ratio is, however, a measurement that shows the presence of an obstruction to the air flow. The results were expressed in percentages according to methodologic, epidemiologic, and statistical predictors [7].

Pulse Oximetry

Pulse oximetry was performed in supine and upright positions (after 1 minute for each position) with the use of the Nonin Onyx 9559.

Ascites Diagnosis

Ascites investigation was performed with the use of Fujifilm Sonosite Titan I (Bothell, Washington) with 6 MHz convex transducer and was considered to be positive when the presence of liquid was detected in the right or left upper abdominal quadrant [8].

Lung Ultrasound

LU was performed by the same investigator unaware of the PFT findings with the use of the same ultrasound machine and transducer used to detect ascites. The patients were in supine position with elevated head during the exam. There are several approaches to performing LU [9]. In this study we followed the author's preference and experience. First, the presence of pleural effusion was observed at the thoracic-abdominal transition bilaterally, then each hemithorax was divided into 6 chest areas per side: anterior (mid-clavicular line), medium (anterior axillary line), and posterior (posterior axillary line), and then into superior and inferior (dividing the chest wall from the clavicle to the costal margin). We considered B-lines to be significant when ≥3 lines appeared in a transversal view between 2 ribs. We also classified these findings as normal (absence of B-lines, <3, or only 1 quadrant involved in both sides) or positive (≥3 bilateral B-lines) [10].

Statistical Analysis

The SAS System for Windows (Statistical Analysis System) version 9.4 (SAS Institute, Cary, North Carolina) was used to perform analysis of variance and Kruskal-Wallis tests to compare groups. The level of significance was 5%.

RESULTS

A total of 59 patients were evaluated; 3 of these had hypoxemia and 7 had pleural effusions and were excluded from the analysis. The results are presented in Table 1. For the 49 remaining patients we found the following results: ascites was detected in 11 patients (22%) and B-lines in 24 patients (49%).

Based on these results, patients were divided into 4 groups: ascites absent (group NoA) without (group NoA-NoB) or with (group NoA-B) B-lines and ascites present (group A) without (group A-NoB) or with (group A-B) B-lines.

The comparison among FVCs showed a mean FVC of 88.3% of predicted in group NoA-NoB and 76.1% of predicted in group NoA-B (P = .0058). In group A-NoB we found a mean FVC of 66.8% and in group A-B 75.6%, showing no difference (P = .1998; Fig 1).

Comparing group NoA-NoB with group A-NoB showed worse FVC, with a mean of 66.8% of predicted for the latter (P = .0010). There was no difference among the remaining groups when comparing FVC values (Fig 1).

When comparing FEV₁ values, a mean of 94.8% of predicted was found in group NoA-NoB and 78.5% of predicted in group NoA-B (P = .0001). In group A-NoB we found a mean FEV₁ of 71.3% and in group A-B 74.2%, showing no difference (P = .7901; Fig 2).

Compared with group NoA-NoB with a mean FEV_1 of 94.8%, group A-NoB showed worse FEV_1 with a mean of 71.3% of predicted (P = .0004). The comparison FEV_1 between group NoA-NoB and group A-B (mean FEV_1 of 74.2%) showed a significant difference (P = .0035). There was no difference among the remaining groups when comparing FEV_1 values (Fig 2).

Table 1. Demographic and General Results

Characteristic	n	96	Mean ± SD
Sex			19
Male	38	77.6	
Female	11	22.4	-
Age (y)	49	-	56.80 ± 6.32
Ascites	11	22.4	
Diffuse B-lines	24	49	
MELD score	49	-	15.88 ± 6.55
FVC (% of predicted)	49	-	79.61 ± 13.11
FEV ₁ (% of predicted)	49	-	83.51 ± 14.47
FEV ₁ /FVC	49	-	105.04 ± 6.66
Diagnosis			
Alcohol	8	16.3	-
Autoimmune	1	2.0	-
Cryptogenic	4	8.16	-
Polycystic disease	1	2.0	5.75
Hepatitis C	12	24.4	-
Carcinoma and hepatitis C	17	34.6	-
Hepatitis B	2	4.0	-
Carcinoma non-C hepatitis	4	8.1	-

Abbreviations: MELD, Model for End-Stage Liver Disease; FVC, forced vital capacity; FEV₁, forced expiratory volume in 1 second.

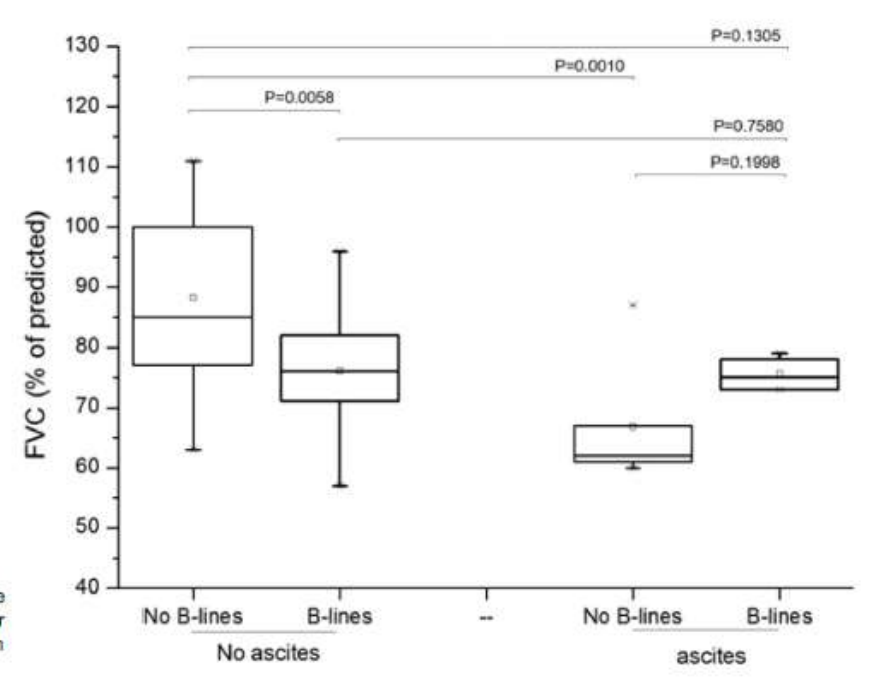


Fig 1. Boxplot showing the comparison between groups for forced vital capacity (FVC) with the respective P values.

The ratio FEV₁/FVC also was compared among the groups. Group NoA-NoB had a mean of 108.2% and group NoA-B 102.9% of predicted. Patients with ascites and no diffuse B-lines (group A-NoB) had a mean of 105.5% and

group A-B a mean of 100.8%. All of these comparison showed no statistical differences (P > .05).

Using the Kruskal-Wallis test to compare the groups according to MELD score, we found a relationship between

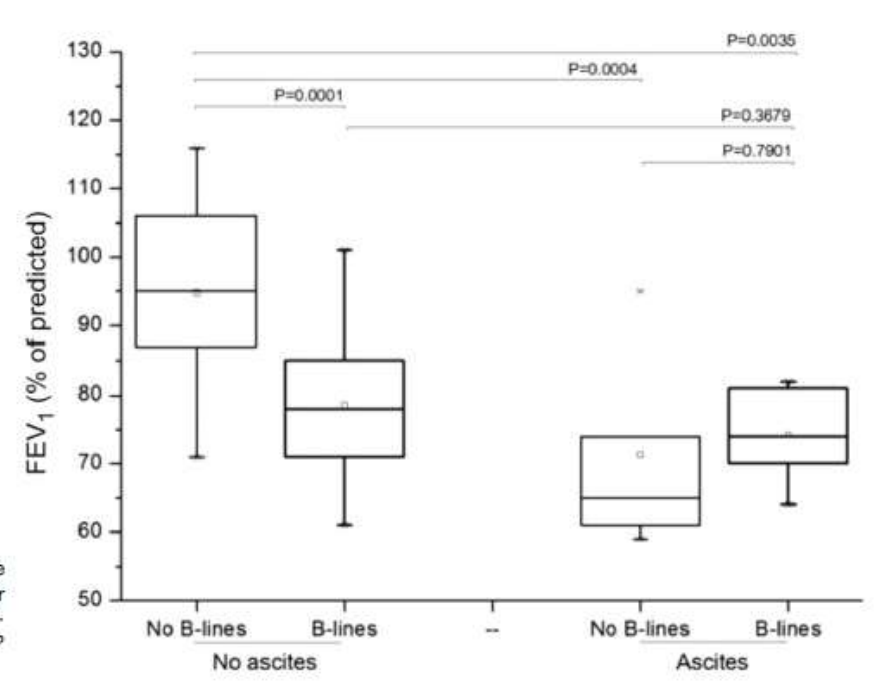


Fig 2. Boxplot showing the comparison between groups for forced expiratory volume in 1 second (FEV₁) with the respective P values.

the lowest and the highest scores for patients in group NoA-NoB (MELD, 13.1 \pm 5.0) and patients in group A-B (MELD, 22.4 \pm 10.1; P = .0229).

DISCUSSION

Cirrhotic patients may develop conditions that can affect pulmonary volumes and gas exchange, as in hepatopulmonary syndrome, where there is a right-to-left vascular shunting, leading to hypoxemia; portopulmonary hypertension, which results from remodeling of the vascularity of the lung, causing pulmonary arterial hypertension; and hepatic hydrothorax, a pleural effusion in patients with liver disease in the absence of cardiopulmonary disease and ascites [11].

To evaluate pulmonary function and to avoid bias in the present study, some conditions had to be excluded, such as pleural effusions, hypoxemia, pulmonary hypertension, and cardiogenic pulmonary edema. Pleural effusion is an isolated factor to reduce lung and chest wall volumes, resulting in a restrictive ventilatory pattern, with reduced chest wall expansion and reduced efficiency of the inspiratory muscles [12]. There were not any patients with the diagnosis of pulmonary hypertension or ejection fraction <50%, measured previously with the use of echocardiography performed by a formally trained cardiologist. Cardiogenic pulmonary edema would appear with B-lines in LU as in IAS [13].

When evaluating FVC, there was a significant reduction between group NoA-NoB and group NoA-B, showing a correlation between the presence of B-lines and a reduction in FVC, translating into a restrictive pattern. In group A-B, there was no difference from group NoA-NoB. When comparing FVC in our study with international data, there are some conflicting results. One study from 2007 [4] showed no statistical difference in FVC in patients with or without ascites with mean FVCs of 90.1% and 95.1%, respectively. Another study evaluated patients with hepatitis C virus chronic liver disease [14] and showed no difference in FVC compared with healthy patients. In 1997, a study [5] showed reduced FVC in cirrhotic patients with ascites and an improvement in FVC after paracentesis or diuretic therapy. Our study showed that B-lines reduced FVC in patients without ascites, but there was no difference when comparing patients with ascites and B-lines (group A-B) and without ascites or B-lines (group NoA-NoB), perhaps because of the small sample in this group (group A-B:

Evaluating FEV₁, there was also a significant reduction between group NoA-NoB and group NoA-B, showing a correlation of the presence of B-lines and a reduction in FEV₁, a similar effect of B-lines in FVC. The ascites group showed no difference in FEV₁ in patients with or without diffuse B-lines. The studies from 2007 and 2004 [4,14] also showed no statistical differences in FEV₁ in patients with ascites and the control group. An improvement in FEV₁ was demonstrated also after paracentesis or diuretic therapy [5]. Despite the small sample in group A-B (n = 5) a difference from group NoA NoB was shown to be significant (P = .0035), suggesting a negative effect of B-lines on lung function.

The presence of ascites and B-lines did not affect FEV₁/ FVC ratio in our study, in contrast to the previous studies [4,5], probably owing to a proportional reduction observed in FVC and FEV₁ in patients with ascites and B-lines.

We found a higher MELD score in patients with both ascites and B-lines (MELD, 22.4 ± 10.1) with a P value of .0229, showing a probable relationship with severity of the disease. There is a lack of data comparing MELD score with B-lines in the literature, and its pathophysiology pathways remains uncertain.

CONCLUSION

The presence of B-lines reduced both FVC and FEV₁ in our study and was correlated with a restrictive pattern of PFT in cirrhotic patients without ascites, and it may be an independent factor in worsening pulmonary function in these patients, although the cause of interstitial involvement is not fully clear. The interaction between ascites and B-lines need further investigation. These patients had a worse PFT and MELD score, and the relationship with B-lines may have a common pathophysiologic pathway.

REFERENCES

- [1] Lichtenstein DA, Mezière GA. Relevance of lung ultrasound in the diagnosis of acute respiratory failure: the BLUE protocol. Chest 2008;134:117–25.
- [2] Lichtenstein D, Mézière G, Biderman P, Gepner A, Barré O. The comet-tail artifact. An ultrasound sign of alveolar-interstitial syndrome. Am J Respir Crit Care Med 1997;156:1640.
- [3] Huffmyer JL, Nemergut EC, Respiratory dysfunction and pulmonary disease in cirrhosis and other hepatic disorders. Respir Care 2007;52:1030-6.
- [4] Yigit IP, Hacievliyagil SS, Seckin Y, Oner RI, Karincaoglu M. The relationship between severity of liver cirrhosis and pulmonary function tests. Dig Dis Sci 2008;53:1951-6.
- [5] Chang SC, Chang HI, Chen FJ, Shiao GM, Wang SS, Lee SD. Therapeutic effects of diuretics and paracentesis on lung function in patients with nonalcoholic cirrhosis and tense ascites. J Hepatol 1997;26:833–8.
- [6] Kamath PS, Wiesner RH, Malinchoc M, Kremers W, Therneau TM, Kosberg CL, et al. A model to predict survival in patients with end-stage liver disease. Hepatology 2001;33: 464-70.
- [7] Pereira CAC, Barreto SP, Simões JG, Pereira FWL, Gerstler JG, Nakatani J. Valores de Referência para espirometria em uma amostra da população brasileira adulta. J Bras Pneumol 1992;18:10-22.
- [8] Branney SW, Wolfe RE, Moore EE, Albert NP, Heinig M, Mestek M, Eule J. Quantitative sensitivity of ultrasound in detecting free intraperitoneal fluid. J Trauma 1995;39:375–80.
- [9] Volpicelli G, Elbarbary M, Blaivas M, Lichtenstein DA, Mathis G, Kirkpatrick AW, et al., International Liaison Committee on Lung Ultrasound (ILC-LUS) for International Consensus Conference on Lung Ultrasound (ICC-LUS). International evidence-based recommendations for point-of-care lung ultrasound. Intensive Care Med 2012;38:577–91.
- [10] Volpicelli G, Mussa A, Garofalo G, Cardinale L, Casoli G, Perotto F, et al. Bedside lung ultrasound in the

assessment of alveolar-interstitial syndrome, Am J Emerg Med

- 2006;24:689-96,
 [11] Surani SR, Mendez Y, Anjum H, Varon J. Pulmonary complications of hepatic diseases. World J Gastroenterol 2016;22:
- 6008-15.
 [12] Mitrouska I, Klimathianaki M, Siafakas NM. Effects of pleural effusion on respiratory function. Can Respir J 2004;11: 499-503.
- [13] Picano E, Pellikka PA, Ultrasound of extravascular lung water: a new standard for pulmonary congestion, Eur Heart J 2016;37:2097–104.
- [14] Okutan O, Kartaloglu Z, Ilvan A, Kutlu A, Bozkanat E, Silit E. Evaluation of high-resolution computed tomography and pulmonary function tests in patients with chronic hepatitis C virus infection. World J Gastroenterol 2004;10:381-4.

TRANSPLANTATION PROCEEDINGS BARRY D. KAHAN, PhD, MD, Editor-in-Chief

Editorial Office: 11707 Trudeau Drive Houston, TX 77065 Telephane: 713-984-8533

Burry D. Kahan, PhD, ND - Editor-in-Chief Email: hkahan@tramplantation-proceedings.org

Transplantation Proceedings

13th Portuguese Congress/ 14th Luso-Branillan Posto, Portugal October 13-15, 2016

LUSOBRAZIL16-6

THIS SIGNED FORM IS REQUIRED AND MUST BE ATTACHED WITH YOUR MANUSCRIPT UPON SUBMISSION. WE WILL NOT PROCEED WITH YOUR MANUSCRIPT REVIEW UNLESS THIS FORM IS ATTACHED.

MANUSCRIPT RECEIPT - FINANCIAL AGREEMENT

Title Page With	ALL Author Email Addresse	W	
Submitted Text	Pages: _9		
Submitted	Tables:	Abstract Included	
Submitted	Figures:		
Total Pages S	ubmitted (excluding Title F	age and Abstract):	-0.0
Manuscript Title: (PLEASE TYPE)			
Lung ultrasi	nol and	Dulmmany	
700	- C	1	
NACON OF THE STREET, NO. 100	151 A WAY OF TANK A	. a san san san san san san san san san s	
read the <u>Guidelines to Authors of Man</u> with the contents, and that I have atta interest Statement (ACIS) on behalf of a	sched a completed and	signed Authorship and C	
I also acknowledge that if acc which will be billed to me by Elsevier, US\$99.95 per submitted manuscript page each along with typed, submitted page, not on the priprovided by Transplantation Proceedir tracking number and will be informed of Further, I understand that use of color The Abstract and Title page are compli-	the publisher of Transp ge, understanding that the text. I understand it nited page, and no com- igs. Authors will be con- of the final number of pa- reproduction of graphic mentary by Transplanta	lantation Proceedings, at the each Table and Figure will that page charges are bas plimentary pages are autotacted by the Editorial Offiges for which they are resis will result in an addition floor Proceedings.	he rate of count as ed on the matically ice with a sponsible, al charge.
Additionally, I agree that this m journal, including Transplantation Pro- understand that if the manuscript is transferred to Eisevier.	ceedings, and no parts	of the manuscript are dup	licated. I
Signature of Corresponding Author	Signature of Financia	illy Responsible Party	
Printed Name	Printed Name		

Anexo 4: Apreciação do Comitê de Ética em Pesquisa da Universidade Estadual de Campinas

COMITÉ DE ÉTICA EM PESQUISA DA UNICAMP -CAMPUS CAMPINAS



PARECER CONSUBSTANCIADO DO CEP

DADOS DO PROJETO DE PESQUISA

Titulo da Pesquisa: Ultrassonografia pulmonar descritiva no paciente em lista para transplante hepático.

Pesquisador: ILKA DE FATIMA SANTANA FERREIRA BOIN

Área Temática: Versão: 3

CAAE: 47541415.0.0000.5404 Institutição Proponente: Gastrocentro

Patrocinador Principal: Financiamento Próprio

DADOS DO PARECER

Número do Parecer: 1,295.634

Apresentação do Projeto:

O uso de ultressonografia portiáti em unidades de emergência e terapia intensiva, aliado ao conceito de ultressonografia de todo o corpo, possibilitou o desenvolvimento de técnica de ultressonografia pulmonar, abrindo cempo para estudos nas áreas de traume, radiciogia infervencionista e clínica médica. Um campo de desteque é a availação do liquido pulmonar entre-vascular, traduzido clinicamente pelas aindromes intendiciais, principalmente o edema pulmonar. Sabernos que o desbalanço entre a pressão hidrostática e a pressão oncitica leva a formação de edema e demane cavitário, problema comum nos pacientes cirriticos. A proposta desse projeto é usar a ultrassonografia pulmonar, um método já consegrado na availação de liquido pulmonar extra-vascular, como ferramenta na availação dos pacientes cirróticos em lista para transplante hepático, afim de descrever as alterações mais comuna nesta população de pacientes e relacioná-las com outros métodos de availação de função pulmonar (espirometra, manovaculometra, descos

Este é um estudo transversal que tem como foco de pesquise: pecientes hepatopatas tidados do ambulatório de transplante hepático do Gastrocento de Universidade de Campinas. Será realizado

Enderago: Rua Tesalia Vista de Carrego, 128

Balton: Hello Derethi CEP1 13:000-007

de coimetria e eletromiografia de superficie do músculo diafregras).

UP: SP MUNICIPAL CARPINAL

Teleform: (18)3521-8806 Fest (16)3521-7187 Beneft rep@fon.orowropter

COMITÉ DE ÉTICA EM PESQUISA DA UNICAMP -CAMPUS CAMPINAS



Continued to Parent 1200,650

ultressonografia pulmonar, com a finalidade de delectar sinale de edema pulmonar (linhas II), derrame pleural e consolidações pulmonares, comparando o resultado com oximetria capitar, prove de função pulmonar e eletromiografia do músculo diafragma. Assim, os pesquisadores pretendem definir se há padrões ultressonográficos típicos ou predominantes no paciente hapatopata pré-insnaplante e compará-los com os métodos tradicionals.

Objettvo de Pesquisa:

Objetivo Primário:

Descrever as siterações na ultrassonografia pulmonar dos pacientes hepatopatas com indicação de transplante hepático

Objetivo Secundario:

f)Comparar de achados na Ultrassonógrafia Pulmonar com de achados na manovacuometria 2)Comparar de achados na Ultrassonografia Pulmonar com de dedos de Espirometria 3)Comparar de achados na Ultrassonografia Pulmonar com de dedos de Oxómetria de pulso 4)Comparar de achados na Ultrassonografia Pulmonar com de dedos de Elebomiografia de músiculo diafragma.

Availação dos Riscos e Beneficios:

De acordo com os pesquisadores, rião há riscos inerentes previstos e que os beneficios do estudo são:. Deteopão precoos de complicações pulmonares da doenga hepática guia para avaiteção de resposta ao tratamento clínico da insuficiência hepática.

No TCLE pers reconsentments:

Serveficion:

Com nosso estudo, esperamos que os pacientes se beneficiem de um tratemento mais adequado às complicações respiratórias e capacidade física, melhorando assim, os cuidados antes, durante, depois da cirurgia e sua qualidade de vida após o transplante.

Os participantes terão acesso garantido sos dados durante qualquer momento da pesquisa, além de informações e exclaracimentos quando surgirem dúvidas.

Comercários e Considerações sobre a Pesquisa:

Trata-es de uma proposta de um estudo de pesquisa que será matizado no Gastrocentro. O projeto intitulado "Ultrassonografia pulmonar descritiva no paciente em lista para transplante hepático", proposto pelo aluno Paulo Cent Leito Perin, supervisionado pelos Profe. Drs. Luiz Claudio Martina e lika De Fatima Santaria Ferneira Boin. De acordo com as informações básicas do projeto, a pesquisa foi enquedrada na área de Ciências da Saúde. A instituição proporante é o

Binderegal: Rue Tesselle Verie de Certergii, 128

Bahva: Helbo Dereals: CEP: 13.383-687

UP: SP Mankage CAMPRAN

Triadous: (1935)21-8000 Pair: (1930)21-7167 Benalt (ep@fon.onlamptor

PESQUISA DA UNICAMP -CAMPUS CAMPINAS



Continued to Parison 1.205.634

Gestrocentro. Conforme organismo apresentado, a pesquisa tirm um custo de R\$200,00. O cronograma de estudo apresentado tem inicio em 01/09/2015, com

término em 06/01/2016. Durante o estudo, serão comparados os achados na Ultraxecnografia Pulmonar com os achados na manovacuometra,com os dedos de Espirometra, com os dedos de Oximetra de pulso e com os dedos de Eletromiografia de músculo disfragma. Na avallação, cada paciente será submetido à coleta de dedos e ás mensureções que seguem: Coleta de dedos pessoate Avallação clínica Checagem de exames laboratoriais: hematimetra, laucometria, dosegem de plequetas, bilimutimas, transaminases, coagulograma, lactato sérico e albumina sérios Checagem de rediografia de tórios Realização dos testes de Pressão expiratória e inspiratória máxima. Realização de aletromiografia do músculo disfragma. Mensuração de função pulmonar com expirometra. Mensuração de Oximetra de pulso em decúbito dorsal e posição ortostatica e Realização de utrassonografia pulmonar. Trata-es de um estudo

transversal que será realizado em uma amostra de 10 pecientes adultos com indicaplo de transplante. hepático em acompanhamento no ambulatório de transplante hepático da UNICAMP

Considerações sobre os Termos de apresentação obrigatória:

Na primeira apresentação do projeto Foram apresentados: 1) projeto de pesquisa (lase mestrado abadizado pdf); 2) foita de meto, devidemente preenchida, deteda e assinada pelo responsável da unidada na quel será realizada a pesquisa (Gastrocentro); foita de rosto assinada pdf); 3) termo de consentimento livre e asciarecido (TCLE), fora des normas de Rex. CNS-MS 45912 (TERMO DE CONSENTIMENTO LIVRE E ESCLARECIDO.pdf).

Para recurso:

- certas para recurso
- TCLE
- Cronogramus
- projeto

Recomendações:

Sugiro edequar cronograma para a realidade proposta, com inicio para reconsentimento, sendo que a coleta de dados já foi realizada.

No TCLE a última página referente assinatura do pesquisador deve ser incorporada so restante do testo. A mesma não deve estar em página isolada do restante do TCLE.

Enderega: Rua Tesatia Vera de Camago, 126

Balton: Hadio Georgio CEP: 13.262-697

UP. SP MANAGEM COMPTION

Telefone: (193521-900) Fax: (193521-7197 Benalt (epigfun unamplor

COMITÉ DE ÉTICA EM PESQUISA DA UNICAMP -CAMPUS CAMPINAS



Continued to Parent 1200,634

Conclusões ou Pendências e Lista de Inadequações:

Pesquisador envis recurso pera uma nova apreciação do projeto. Declara que os participantes serão reconsentidos a responde as pendências abaixo listadas do paracer 1.214.100

(1) De scordo com a descrição apresentada no projeto de pesquisa completo e modelo plateforms Brasil os testas já estão sendo realizados no ambulatório de transplante hepático do Gastrocentro, inclusive com apresentação de resultados preliminares.

COMENTÁRIOS: pesquisadore declara que os dedos serão utilizados após reconsentimento dos participantes PENDÊNCIA ATENDIDA.

(2) De acordo com o pesquisador o termo de consentimento llure e esclaracido foi assinado pelo paciente ou responsável legal, antes da inclusão no estudo. Porám, o TCLE não segue a estrutura básica solicitada pelo CEP.

COMENTÁRIOS: um novo TCLE será resplicado nos participantes PENDÊNCIA ATENDIDA.

(2) No pronograma de execução, o perquisador indica que a coleta de dedos iniciará em setembro, porêm informa na metodologia que o tentes já foram realizados.

COMENTÁRIOS: um novo cronograma foi apresentado, onde consta

Coleta de dedos: Inicio em Dezembro de 2015.

Arrailles des Amostres: Inicio em Abril de 2016.

Analise Estatística: Inicio em Maio de 2016. Programação para támeino: Junho de 2016.

Sugiro adequar cronograme para a realidade proposta, com início para reconsentimento, sendo que a coleta de dedos já foi realizade.

- (4) Adequar o TGLE segundo a estrutura básica apresentada na página do comité de Ética de UNICAMP. COMENTÁRIOS: TGLE apresentado é adequado à pesquisa, seguindo os preceitos da Resolução 465/2012. Necessão apenas que a última página referente "a assinatura do pesquisador seja incorporada ao restante do texto. PENDÊNCIA ATENDIDA.
- (5) informer que o TCLE deve ser assinado em duas vias, ficando uma delas com o pesquisador e

Boderego: Rue Tesable Veire de Carrego, 128

Beltra: Helto Georgio CEP: 13.292-667

UP: SP MUNICIPELAS

Telefone: (192021-800) Pag: (192021-7197 Benalt rep@fon.orsanp.or

PESQUISA DA UNICAMP -CAMPUS CAMPINAS



Continued to Parent 1,200,656

outre com o persoperée de pesquies PENDÊNCIA ATENDIDA.

(6) O texto como foi descrito no TCLE não garante indentasção por dance decorrentes de pesquisa, sendo contrário ao disposto na Resolução CNS n.466/2012. Assim Cabe ressatar que a responsabilidade pela prestação de cuidados integrala de saúde não pode setar vinculada a comprovação de relação direta com a perficipação no estudo, devido à própria dificuldade prática em comprover seta vinculo. Diante do esposto, solicita-se que a a seguinte recisição: "Em caso de dano decorrente da pesquisa, está garantida a assistência integral e imediate de forma gratuita. Vooê também tem direito a indentasção em caso de danos". PENDÊNCIA ATENDIDA.

(7) Descrever os beneficios esperados. Seja ciaro, simples e direto. Evite exagenar beneficios e vantagena potenciala. Se não há beneficios diretos, delos baso ciaro. PENDÊNCIA ATENDIDA.

(E)No TCLE, o contato com os pesquisadores deverá ser complementado com o enderego da unidade e selor-departamento onde as mesmas poderão ser encontradas PENDÊNCIA ATENDIDA.

Conclusão: as pendências firem adequademente stendidas. Projeto aprovado.

Considerações Finals a critério do CEP:

- O sujeito de pesquisa deve receber uma via do Termo de Consentimento Livre e Esciarecido, na Integra, por ele assinado.
- O sujeto de pesquise tem a liberdade de recusar-se a participar ou de retrar seu consentimento em qualquer fixe de pesquise, sem peralização algums e sem prejutzo ao seu cuidado.
- O pesquisador deve deservolver a pesquisa conforme delineada no protocolo aprovado. Se o pesquisador considerar a descontinuação do estudo, esta deve ser justificada e aomente ser resilizada após análise das reades da descontinuação, exceto que o aprovou. O pesquisador deve aguandar o parecer do CEP que não descontinuação, exceto quendo perceber risco ou dano não previsto ao sujeito participante ou quendo constatar a superioridade de uma extratégia diagnóstica ou terapêutica oferecida a um dos grupos da pesquisa, lato é, somente em caso de recessidade de ação imediata com intuito de proteger os participantes.

Enderson: Ria Tesatile Visite de Camargo, 126

Baltrai, Harbo Detaklio

CEPT TO DISCHART

UP: SP MUNICIPAL CAMPAIN

Teafune: (193521-868 Pea) (163821-7167

Benefit oppdoministancer

COMITÉ DE ÉTICA EM PESQUISA DA UNICAMP -CAMPUS CAMPINAS



CONTRACTOR PROPERTY.

- O CEP deve ser informacio de todos os efeitos advensos ou fatos relevantes que alterem o curso normal do estudo. É papel do pesquisador assegurar medidas invedistas adequadas frente a evento adverso grava ocorrido e enviar notificação ao CEP.
- Eventuals modificações ou emendas ao protocolo devem ser apresentadas ao CEP de forms clars e aucinta, identificando a parte do protocolo a ser modificada e suas justificativas.
- Relatórios percisis e final devem ser apresentados so CEP, inicialmente sels meses após a data deste persoar de aproveção e ao término do estudo.

Este parecer foi elaborado baseado nos documentos abalizo relacionados:

Tipe Documento	Arquivo	Postagem	Autor	Sharpio
Recurso do Parecer	recurso.pdf	14/10/2015		Aoxto
Outros	edicacrecurso.pdf	14/10/2015	ENA DE FATIMA SANTANA FERREIRA BOIN	Aceto
Projeto Detelhado / Brochura Investigador	tesemestradurous pdf pdf	14/10/2015 12:47:36	SANTANA FERREIRA BOIN	Aceto
TCLE / Terros de Assertimento / Justificativa de Ausérota	TCLEfineipel pel	14/10/2015 12:43:54	EKA DE FATIMA SANTANA FERREIRA BOIN	Aceto
Cronograms	Cronogremwpdf.pdf	12:30:46	EKA DE FATIMA SANTANA FERREIRA BOIN	Aceto
Recurso do Perecer	recurso.pdf	20/09/2015		Acelto
Recurso Anexado pelo Pesquisador	Recursopd pdf	20/09/2015	EKA DE FATIMA SANTANA FERREIRA BOIN	Aceto
Recurso do Parecer	recurso.pdf	13/08/2015		Acello
	PB_INFORMAÇÕES_BÁSICAS_DO_P ROJETO_528989.pdf	22/07/2015 17:03:59		Aceto
informações Désices	PB_INFORMAÇOES_BASICAS_DO_P ROJETO 529999 pdf	27/06/2015 04:18:28		Aceto
Informações Básicas	PB_INFORMAÇÕES_BÁSICAS_DO_P ROJETO_\$28989.pdf	12:24:09		Aceto

Binderege: Rise Yesskile Verte de Camargo, 126

Baltra: Ratto Caractio CEPs 13.230-467

UP: 3P Monkages: CAMPTONE

Telefone: (19)0021-6000. Fex: (16)0021-7167 Benalt op@fon.unampor

COMITÉ DE ÉTICA EM PESQUISA DA UNICAMP -CAMPUS CAMPINAS



Cordinate to Parise 1200,634

l'ofte de Rosto folha de rosto assinada	os/05/2015 06:09:25		Aoeto
---	------------------------	--	-------

Situação do Parecer:

Aprovado

Necessita Apreciação da CONEP:

Não

CAMPINAS, 27 de Outubro de 2015

Assinado por: Meris Fernanda Ribeiro Bittar (Coordenador)